

A.8 放射性収納物

本輸送物の放射性収納物は、PWR 使用済燃料集合体であり、PWR 燃料集合体の構造図を(イ)-第 D.1 図に示す。

各収納物の構造的特徴及び仕様は(イ)章 D. に示すとおりである。

燃料集合体の強度解析については、一般の試験条件である 0.3 m 落下時に輸送容器と等しく落下衝撃を受けるものとして行っている。その結果、燃料被覆管の強度上の余裕は十分あり、燃料被覆管内の核分裂生成物は、外部に放散されることはない。

なお、特別の試験条件において、燃料集合体の強度評価は行っていないが、9 m 落下時には上・下部ノズル及び燃料棒の変形が想定される¹⁸⁾ ことから、特別の試験条件では各安全解析における燃料集合体の状態を(ロ)-第 A.62 表に示すように設定して評価を行う。

(ロ)-第 A.62 表 各安全解析における燃料集合体の設定

解析項目	解析における燃料集合体の設定
熱解析	燃料棒ピッチの変化及び上下部ノズルの変形が輸送容器及び燃料棒の温度に与える影響は小さいので、変形を無視する。ただし、保守的に全ての燃料棒の密封機能が失われたと仮定し、容器内部のガスの熱伝導率に核分裂生成ガスの影響を考慮する。
密封解析	全燃料棒の密封性が失われたと仮定する。
遮蔽解析	燃料棒ピッチの変化や燃料有効部の移動の可能性があるが、線量当量率の最大値は 1 m 貫通落下による側部中性子遮蔽材の損傷により本体側部に生じ、これらの燃料の変形等が影響を与えないため、考慮しない。

A.9 核分裂性輸送物

本輸送物は核分裂性輸送物に該当する。したがって、本項では、(p)章 E. 臨界解析において想定する輸送物の損傷状態を、以下の試験条件に対して評価する。

なお、本輸送物は周囲温度-20℃以上で使用し、A.4.2に示すとおり、周囲温度-20～38℃の温度条件でき裂、破損等の生じるおそれはない。

A.9.1 核分裂性輸送物に係る一般の試験条件

核分裂性輸送物に係る一般の試験条件は、告示により次の3種類が定められており、(i)については連続条件となる。

(i) 落下試験

① 水噴霧

② 0.3 m自由落下

(ii) 積み重ね試験

(iii) 6 kg 棒貫通試験

(p)章 E. の臨界解析における評価方法を考慮して、影響する輸送物の損傷状態を A.5 の解析結果をもとに評価すると次のようになる。

1. 落下試験

(1) 水噴霧

A.5.2 と同一であり、輸送物に損傷はない。

(2) 0.3 m自由落下

A.5.3 と同一であり、緩衝体に変形が生じるがそれ以外の部位に損傷はない。

2. 積み重ね試験

A.5.4 と同一であり、輸送容器に損傷はない。

3. 6 kg 棒貫通試験

A.5.5 と同一であり、軟鋼棒は緩衝体カバープレートを貫通しない。

以上の結果より、核分裂性輸送物に係る一般の試験条件における輸送物の損傷状態は(p)-第 A.63 表のようにまとめられる。本輸送物は、(p)-第 A.64 表に示すように、核分裂性輸送物に係る一般の試験条件において、規則及び告示に定められている核分裂性輸送物としての要件を満足する。

(ロ)-第 A. 63 表 核分裂性輸送物に係る一般の試験条件における輸送物の損傷状態

試験条件		輸送物の損傷状態	備考
落下試験	水噴霧	損傷なし	—
	0.3 m落下	緩衝体の変形	緩衝体は臨界解析では無視する。
積み重ね		緩衝体の変形	緩衝体は臨界解析では無視する。
6 kg棒貫通		損傷なし	—

(ロ)-第 A. 64 表 核分裂性輸送物に係る一般の試験条件における適合性評価

核分裂性輸送物としての要件	評価
構造部に一辺10 cmの立方体を包含するようなくぼみが生じないこと。	緩衝体の変形するが、一辺が10 cmの立方体を包含するようなくぼみが生じるような変形ではない。

A. 9. 2 核分裂性輸送物に係る特別の試験条件

A. 9. 1 の一般の試験条件に続いて 15 m 浸漬試験が実施される場合には、A. 6. 4 に示すように本輸送物の損傷が拡大することはないので、本輸送物に関する核分裂性輸送物に係る特別の試験条件は最大破損条件となる以下の順序で実施する。

- ① A. 9. 1 の一般の試験条件
- ② 9 m 落下試験
- ③ 1 m 貫通試験
- ④ 熱的試験（火災）
- ⑤ 0. 9 m 浸漬試験

ここで、核分裂性輸送物に係る一般の試験条件としては(ρ)-第 A. 63 表に示すように損傷がある落下試験を採用する。

(ρ)章 E. 臨界解析における評価方法を考慮して、影響する輸送物の損傷状態を評価すると次のようになる。

1. 核分裂性輸送物に係る一般の試験条件のうち落下試験

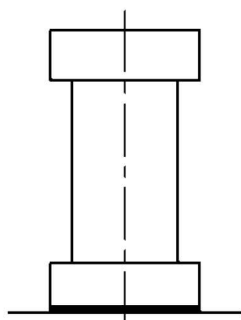
本試験条件における輸送物の損傷状態は(ρ)-第 A. 63 表に示すとおりである。

2. 9 m 落下試験

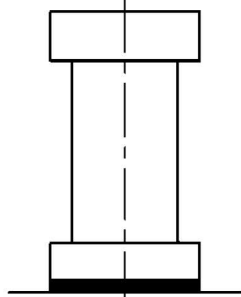
(1) 落下姿勢と落下試験の順序

(ρ)-第 A. 46 図に落下姿勢と落下試験の順序を示す。

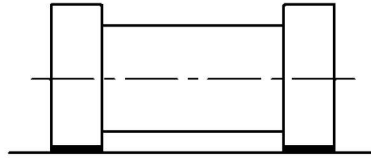
A. 9. 1 の 0. 3 m 落下と 9 m 落下の落下方向が同一の場合に緩衝体の変形量が最大になると考えられるので、この場合について検討を行う。



(垂直)

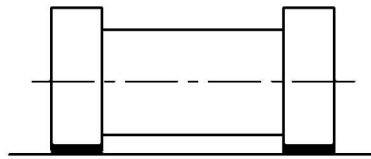


(垂直)



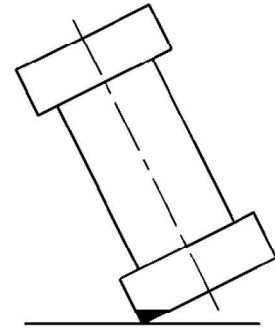
(水平)

0.3 m 落下

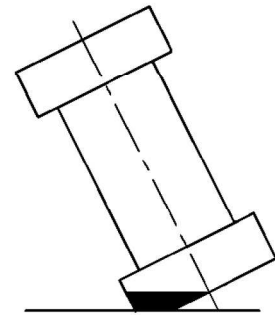


(水平)

9 m 落下



(コーナー)



(コーナー)

(□)-第 A. 46 図 落下姿勢と試験の順序

(2) 9 m 落下試験時の変形量と衝撃加速度

落下高さとしては、0.3 m 落下と 9 m 落下の合計 9.3 m を与える。A. 6. 1 の 1. と同様に、落下エネルギー E_k は与えられる。計算条件と計算結果を(□)-第 A. 65 表に示す。

(□)-第 A. 65 表 輸送物落下エネルギー計算条件及び計算結果

項目	輸送物 最大総重量 : m (kg)	重力加速度 : g (m/s ²)	落下高さ : H (mm)	輸送物の 落下エネルギー : E_k (N・mm)
数値	1.344×10^5	9.80665	9300	1.226×10^{10}

A. 6. 1 の 1. に示す手法を用いて、変形量 δ 及び衝撃加速度 G を求める。評価結果の緩衝体の累積変形量及び最大衝撃加速度は(□)-第 A. 66 表に示すとおりである。

(□)-第 A. 66 表 9 m 落下試験における緩衝体の累積変形量と衝撃加速度

落下姿勢		緩衝体の 累積変形量 (mm)	設計基準 変形量 ^(注1) (mm)	衝撃加速度 (A) (m/s ²)	9 m 落下試験時 設計加速度 (B) (m/s ²)	加速度の 比 (A/B)
垂直 落下	頭部	268	684	568	600	0.95
	底部	309	608	490	500	0.98
水平落下		279	374.5	704	710	0.99
コーナー 落下	頭部	766	826	469	480	0.98
	底部	760	827	464	—	—

(注 1) 設計基準変形量とは、それぞれの落下方向において衝撃力を急激に上昇させないための設計上の基準値である。

(3) 容器本体及びバスケットの構造健全性評価

本落下試験時の衝撃加速度は(□)-第 A. 66 表に示すように A. 6. 1 の設計加速度と比較して 1 以下であり、A. 6. 1 の評価より小さい。また、累積変形量は、設計基準変形量以下であるので、本落下試験においても容器本体及びバスケットの構造健全性は維持される。

(4) 三次蓋 O リングの密封性能の評価（歪レベルの評価）

(ロ)-第 A. 57 表に示したように、9 m 落下試験の O リング位置での蓋とキャスク本体との相対口開き変形量は基準値に対して十分な余裕を有しており、本試験条件においても密封性能が損なわれることはない。

(5) 二次蓋防水機能の評価

(ロ)-第 A. 67 表に示すように、特別の試験条件における二次蓋金属ガスケットの横ずれ量は基準値に対して十分な余裕を有しており、また二次蓋ボルトに生じる応力は S_y 以下で締付力は維持されており二次蓋の残留口開きは生じないため、本試験条件においても防水機能が損なわれることはない。なお、二次蓋貫通孔のモニタリングポートカバープレートは O リングで密封されており、本落下試験条件においても防水機能が維持される。

(ロ)-第 A. 67 表 特別の試験条件における二次蓋部金属ガスケットの密封性能の評価

条件		二次蓋ガスケットの横ずれ量(mm)	密封性能 (5×10^{-3} ref cm^3/s) を維持する基準値(mm) ^{17), 19)}
9 m 落下	垂直落下	0.66	3
	水平落下	0.34	3
熱的試験		0.46	3

3. 1 m 貫通試験

1. 及び 2. の落下試験において緩衝体の変形するが、これらは A. 6. 2 に示すように 1m 貫通試験に対する評価において関係しない。したがって、本試験における輸送物の損傷状態は A. 6. 2 の結果 (A. 6. 5 に示す要約参照) と同一である。

4. 熱的試験

1. 及び 2. の落下試験における緩衝体の累積変形量は、A. 6. 1 に示す 9 m 落下試験の各落下試験時の変形量に対して若干増加しているが、特別の試験条件の熱解析モデルに考慮する緩衝体変形量 (B. 5. 2 参照) は、1. 及び 2. の落下試験における緩衝体の累積変形量を包絡した値としている。したがって、本熱的試験における輸送物の損傷評価は A. 6. 5 の 2. と同一となる。

5. 0.9 m 浸漬試験

0.9m 浸漬試験の条件及び評価結果は、A. 6. 4 に示す 15 m 浸漬試験の条件及び評価結果に包絡されるため、0.9 m 浸漬試験において輸送物は損傷が拡大することはない。

6. 輸送物の損傷状態の要約

(□)-第 A. 68 表に特別の試験条件における輸送物の損傷状態の要約を示す。なお、特別の試験条件において燃料集合体の強度評価は行っていないが、9 m 落下時には、上・下部ノズルの変形及び燃料棒の変形が想定される¹⁸⁾ことから、燃料集合体については、臨界解析において(□)-第 A. 69 表に示すように条件を設定する。

(□)-第 A. 68 表 核分裂性輸送物に係る特別の試験条件下の輸送物の損傷状態

条件	輸送物の損傷状態	備考
9 m 落下	緩衝体の変形	緩衝体は臨界解析では無視。
1 m 貫通	緩衝体、外筒及び中性子遮蔽材の変形	緩衝体及び中性子遮蔽材は臨界解析では無視。
熱的試験 (火災時)	中性子遮蔽材の一部焼損 各部位の温度が上昇	臨界解析上は中性子遮蔽材を無視し、燃料温度を20 °Cとしている。
0.9 m 浸漬	損傷なし	密封装置及び二次蓋の密封性が健全であるので、胴内に浸水することはない。

(□)-第 A. 69 表 臨界解析における燃料集合体の設定

解析項目	解析における燃料集合体の設定
臨界解析	支持格子1スパン間の燃料棒ピッチの拡大及び縮小を仮定する。

A.10 付属書類

A.10.1 MSF キャスクの落下試験

1. 試験目的

本試験は、MSF-24P 型輸送容器のプロトタイプである MSF キャスクの落下試験モデルを用いて 9.3 m 落下試験（垂直及び傾斜）を実施し、容器の胴及び蓋に取り付けた加速度計によりデータを取得するとともに、落下後の緩衝体の変形量等を測定した。

2. 試験項目

(1) 頭部垂直落下

9.3 m の高さから落下試験モデル頭部を下側にして、垂直姿勢にて落下させた。

(2) 傾斜落下

9.3 m の高さから 10 ° 傾斜させた状態で水平方向に落下させる。なお、底部側が一次衝突、頭部側が二次衝突するよう傾斜させ、落下させた。

3. 試験装置

(1) 落下試験モデル

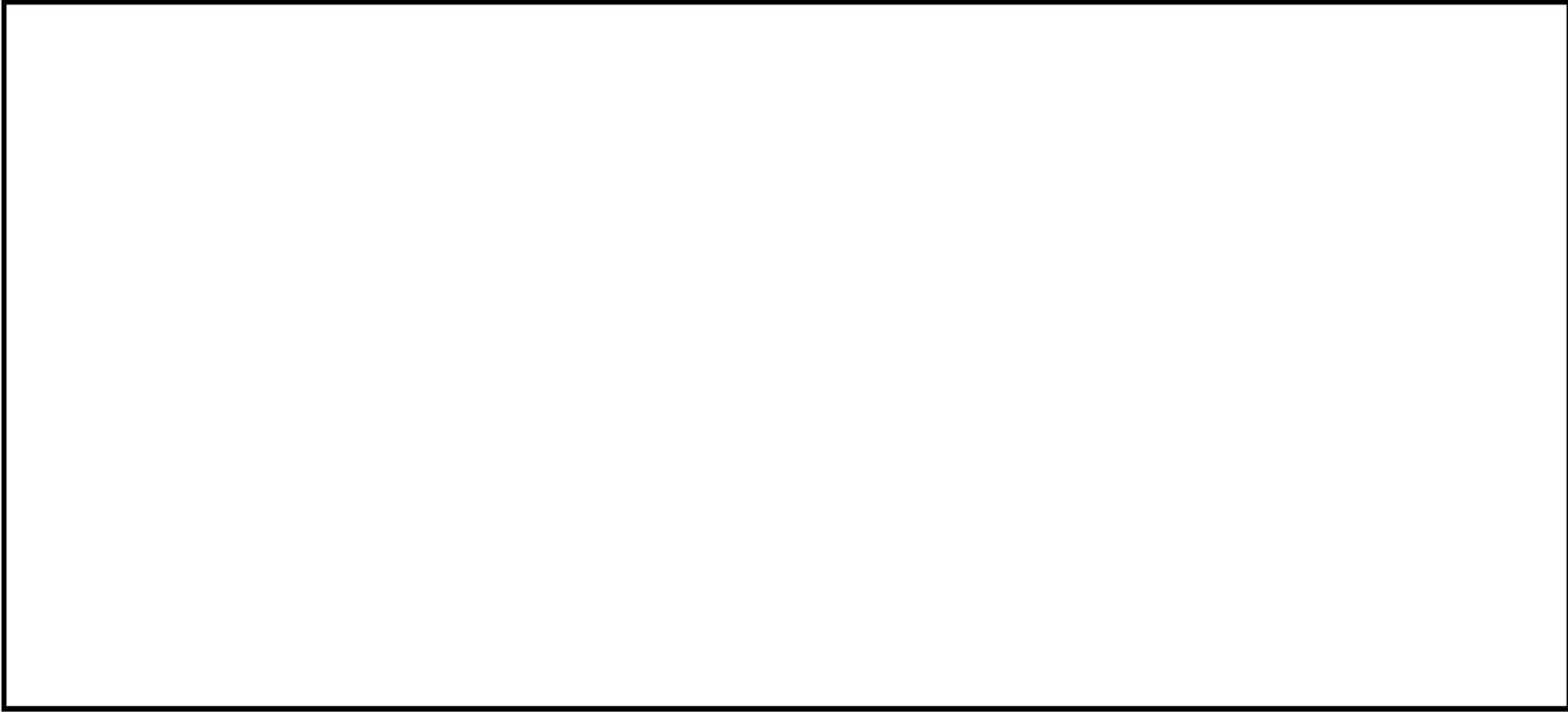
落下試験モデルは、BWR 燃料集合体を 69 体収納する設計である。本体は、胴（鍛造材）、中性子遮蔽材及び外筒（炭素鋼）から構成され、胴と外筒の間には銅製の伝熱フィンが溶接されている。

蓋部は、一次蓋と二次蓋の二重構造とし、本体胴フランジに、金属ガスケットを取り付けた一次蓋及び二次蓋をボルトにより締結することで密封性を維持する構造としている。

バスケットはアルミニウム合金の角パイプからなる構造とし、キャビティ内において燃料集合体を分散・集合させないように支持する構造としている。落下試験時には、独立した 69 個のバスケットセルに燃料集合体を模擬した重量体を挿入した。

材質は基本的に実機と同じ又は相当材である。また、胴内、一二次蓋間は計装配線の関係から開放されており、大気圧である。

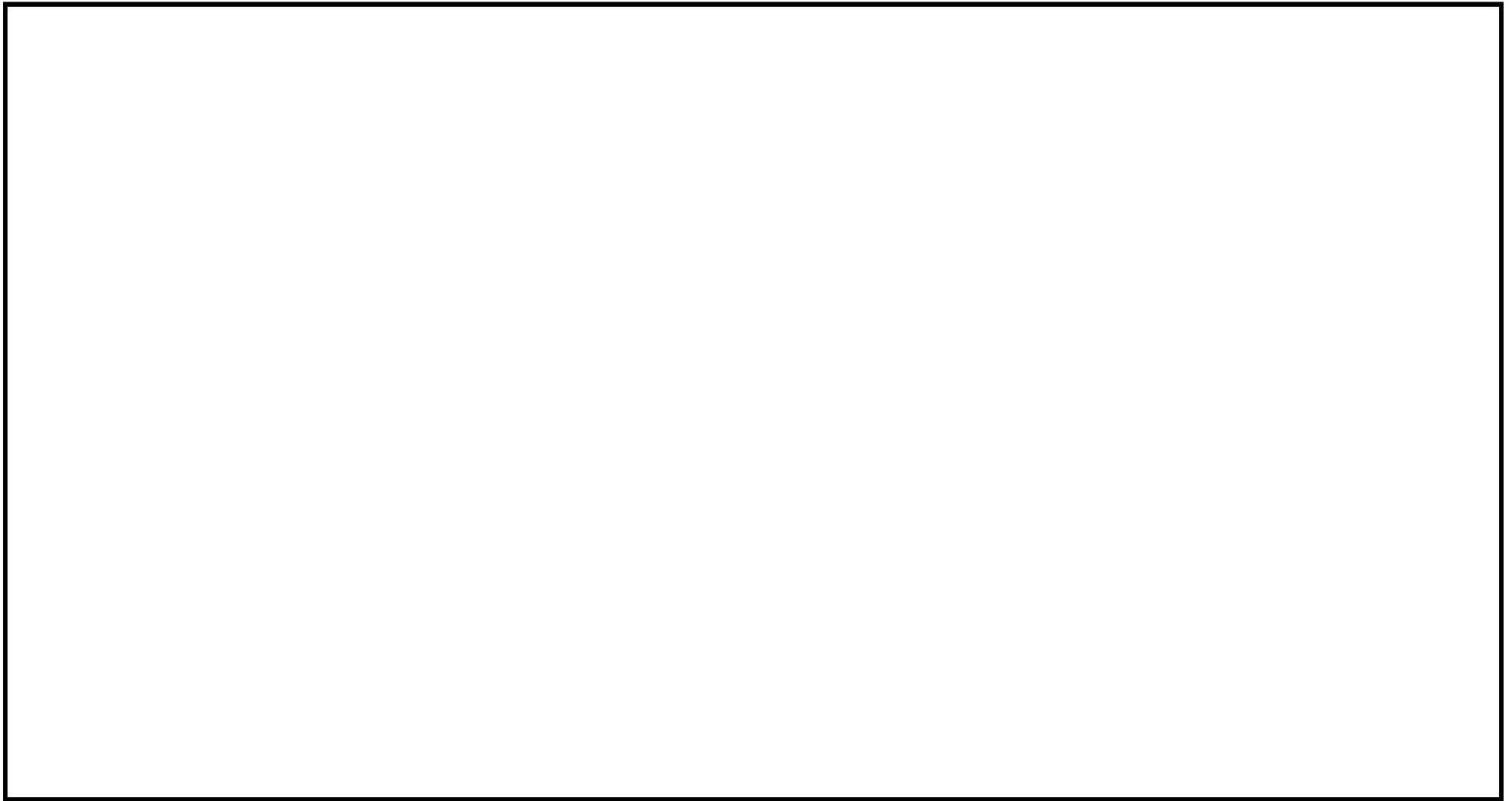
落下試験モデルの概要図を (ロ)-第 A. 47 図～(ロ)-第 A. 51 図に示す。



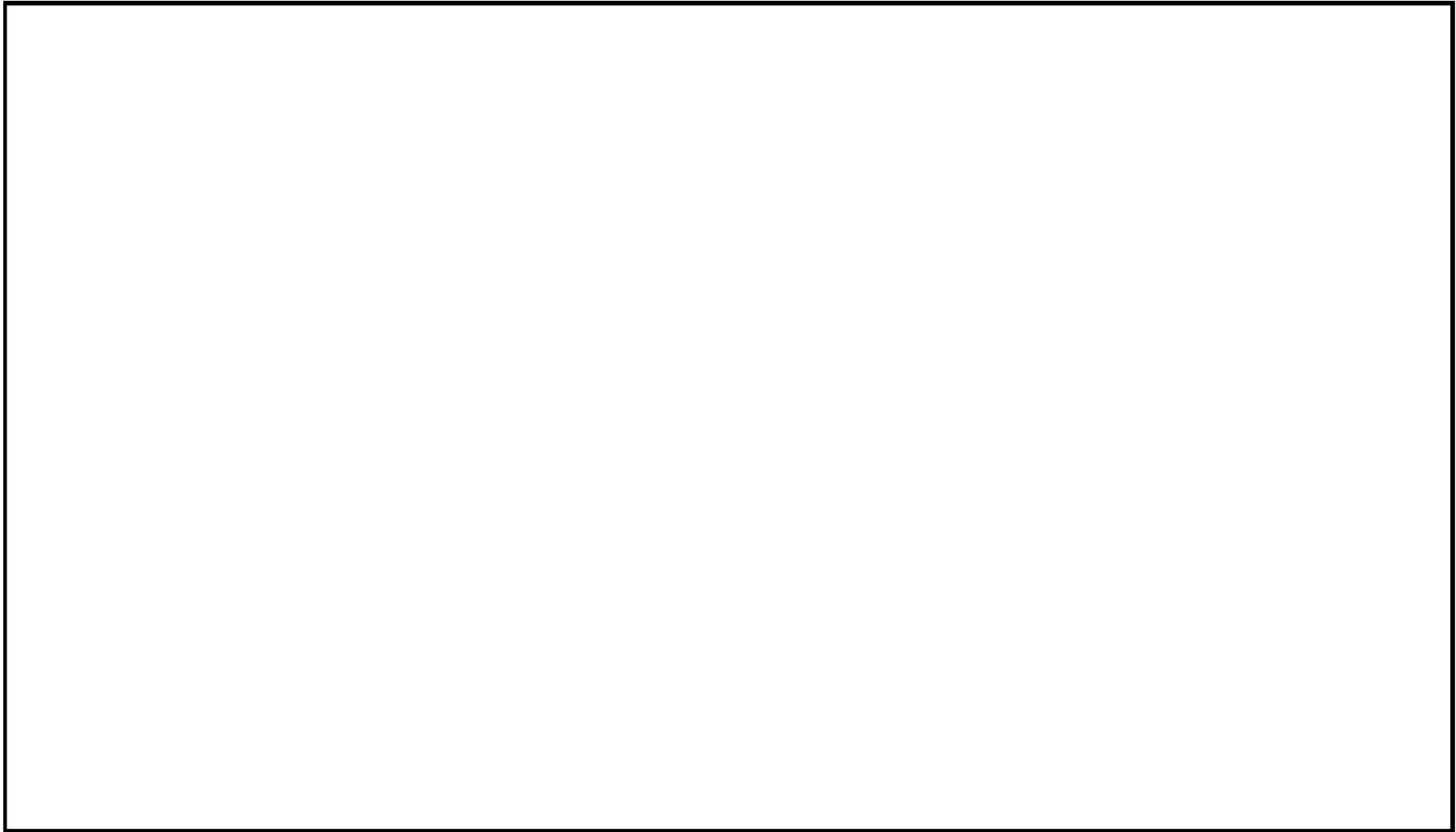
(ア)-第 A. 47 図 落下試験モデル全体図



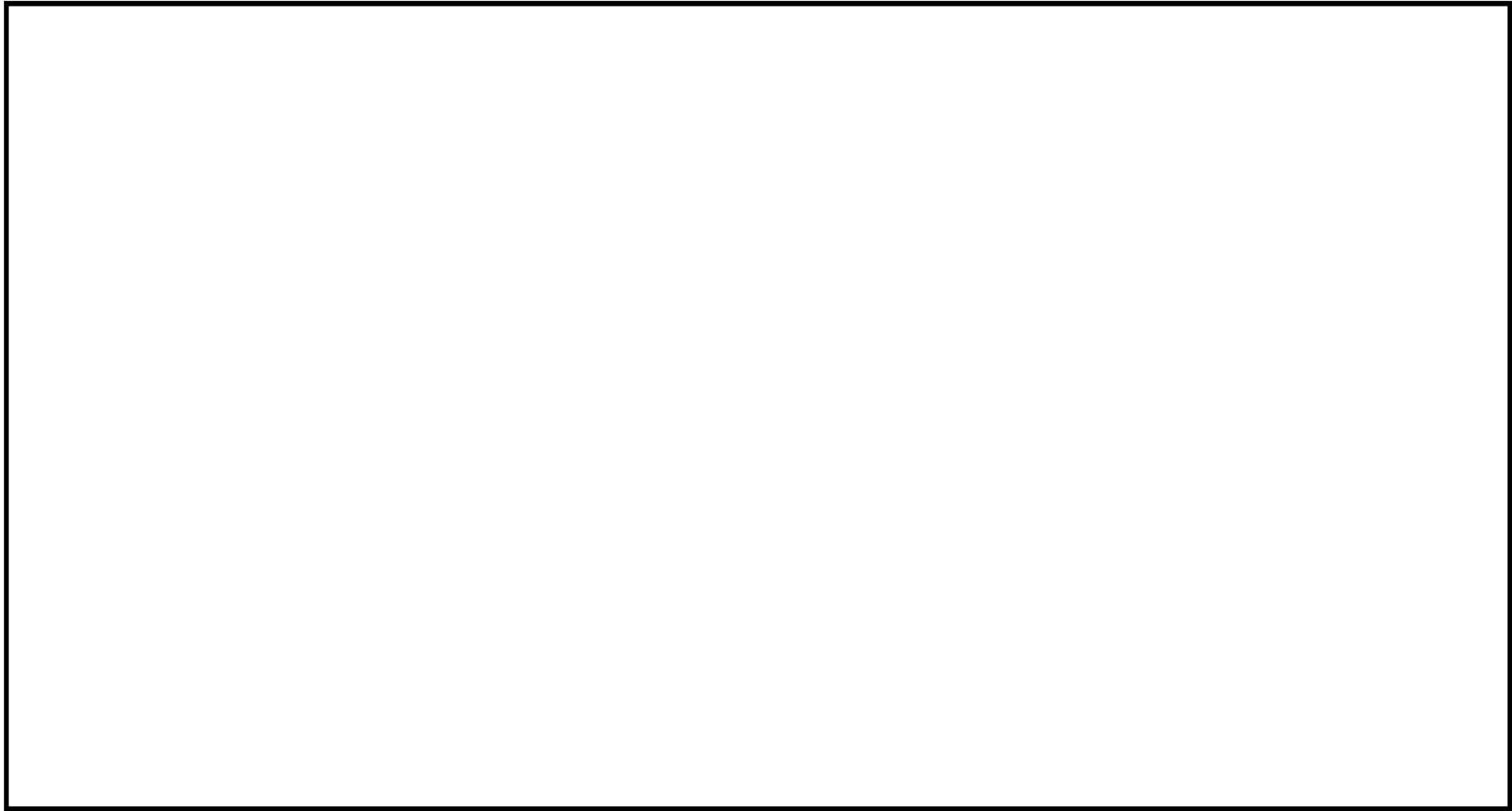
(ア)-第 A. 48 図 一次蓋 (落下試験モデル)



(1)-第 A. 49 図 二次蓋 (落下試験モデル)



(ロ)-第 A. 50 図 上部緩衝体 (落下試験モデル)



(平)-第 A. 51 図 下部緩衝体 (落下試験モデル)

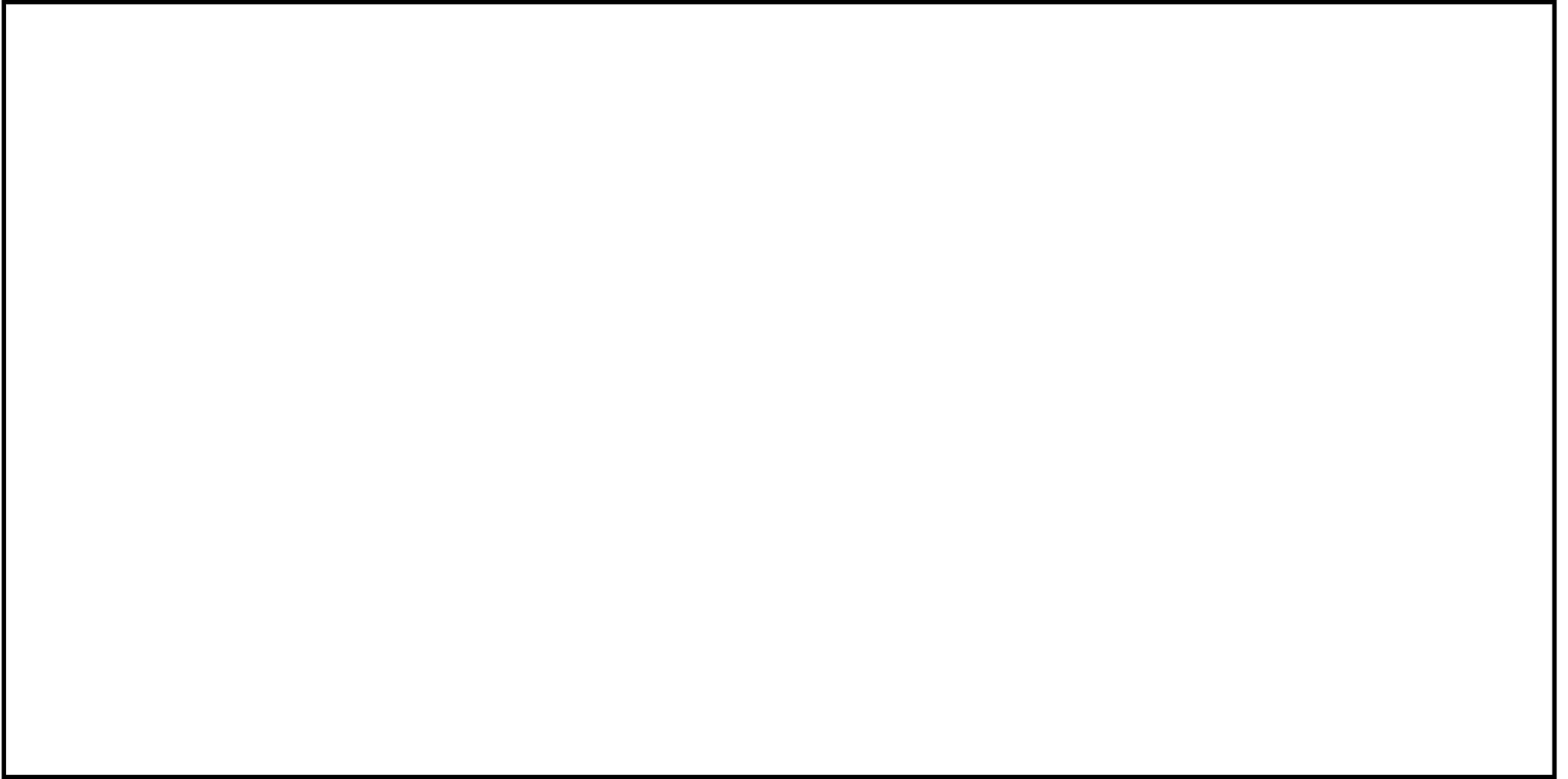
(2) 測定項目及び測定方法

a. 測定項目

落下試験モデルを用いた落下試験において測定した主な測定項目と測定部位及び測定器等について(□)-第 A. 70 表に示す。また、加速度計及びひずみゲージの取付位置を(□)-第 A. 52 図に示す。

(□)-第 A. 70 表 落下試験における主な測定項目

測定項目	測定部位	測定器等
緩衝体変形量	上部・下部緩衝体	スケール
加速度	胴、一次蓋、二次蓋	加速度計
ひずみ (参考値)	一次蓋ボルト、二次蓋ボルト	ひずみゲージ
蓋の横ずれ (参考値)	一次蓋、二次蓋	隙間ゲージ デプスゲージ



(ロ)-第 A. 52 図 加速度計及びひずみゲージの取付位置

4. 試験結果

(1) 頭部 9.3 m 垂直落下

(p)-第 A. 53 図に頭部 9.3 m 垂直落下試験前後の落下試験モデルの写真を示す。以下に頭部 9.3 m 垂直落下試験結果の概要を示す。

a. 緩衝体変形量

(p)-第 A. 71 表に緩衝体変形量を示す。緩衝体変形量は、許容変形量を満足している。

b. 加速度履歴

(p)-第 A. 54 図に胴中央の加速度履歴を示す。(p)-第 A. 72 表に各部位の最大加速度を示す。

c. 蓋の横ずれ量（参考値）

(p)-第 A. 73 表に各蓋の横ずれ量を示す。一次蓋については蓋の横ずれが確認され、横ずれ量は最大 0.24 mm であった。二次蓋については、蓋の横ずれは生じなかった。

d. ボルトに作用する応力（参考値）

(p)-第 A. 74 表に各ボルトに作用する最大応力を示す。なお、応力は、落下衝撃負荷時にボルトに生じたひずみから算出した。一次蓋ボルト、二次蓋ボルトともに、基準値に対して十分に余裕があった。

e. 落下試験前後の漏えい率（参考値）

(p)-第 A. 75 表に落下試験前後の一次蓋及び二次蓋の漏えい率を示す。一次蓋の落下試験後の漏えい率は、落下試験前に比べ 2~3 桁程度増加したが、密封性能を維持する基準値 ($5 \times 10^{-4} \text{ Pa m}^3/\text{s}$ [$=5 \times 10^{-3} \text{ ref cm}^3/\text{s}$]) を満足した。また、二次蓋の漏えい率は落下試験前後で同程度であった。

(㍀)-第 A. 71 表 9.3 m 頭部垂直落下時の緩衝体変形量

部位	変形量 (mm)	許容変形量 (mm)
上部緩衝体	259	

(㍀)-第 A. 72 表 9.3 m 頭部垂直落下時の最大加速度

計測位置	方向	最大加速度 (G)
胴上部 (0°)	落下方向	59
胴上部 (180°)	落下方向	63
胴中央	落下方向	72
一次蓋	落下方向	448
二次蓋	落下方向	533

(㍀)-第 A. 73 表 9.3 m 頭部垂直落下時の蓋の横ずれ量 (参考値)

部位	位置	横ずれ量 ^(注1) (mm)
一次蓋	0° 側	-0.24
	90/270° 側	0.02 / -0.15
	180° 側	-0.04
二次蓋	0° 側	0.0
	90/270° 側	0.0 / 0.0
	180° 側	0.0

(注1) 横ずれ量の符号は、各蓋が胴フランジに対し、内側へずれる場合を+、外側へずれる場合を-として示す。

(㉓)-第 A. 74 表 9.3 m 頭部垂直落下時の最大応力 (参考値)

部位	位置	応力成分	最大応力 ^(注1) (MPa)	基準値 ^(注2) (MPa)
一次蓋ボルト	0° 側	膜	468	890
		曲げ	164	890
	90° 側	膜	508	890
		曲げ	216	890
	180° 側	膜	413	890
		曲げ	201	890
二次蓋ボルト	0° 側	膜	-29	890
		曲げ	14	890
	90° 側	膜	-27	890
		曲げ	11	890
	180° 側	膜	-50	890
		曲げ	32	890

(注1) 膜応力の符号は、引張を+、圧縮を-として示す。

(注2) 一次蓋ボルト及び二次蓋ボルトの基準値は、 S_y (RT)とした。

(㉓)-第 A. 75 表 9.3 m 頭部垂直落下時の落下試験前後の漏えい率 (参考値)

部位	落下試験前 (Pa m ³ /s)	落下試験後 (Pa m ³ /s)
一次蓋	1.0×10^{-8}	3.9×10^{-6}
二次蓋	2.0×10^{-11}	1.7×10^{-11}

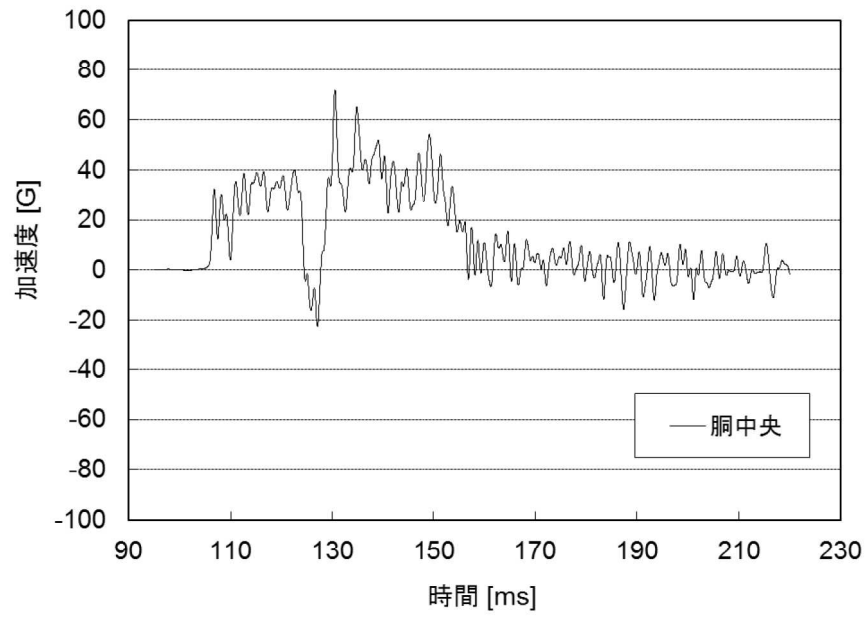


(1) 落下試験前



(2) 落下試験後

(ロ)-第 A. 53 図 9.3 m 頭部垂直落下試験時の落下試験モデル写真



(㊦)-第 A. 54 図 9.3 m 頭部垂直落下時の落下方向加速度履歴

(2) 9.3 m 傾斜落下

(ロ)-第 A. 55 図に 9.3 m 傾斜落下試験前後の落下試験モデルの写真を示す。以下に 9.3 m 傾斜落下試験結果の概要を示す。

a. 緩衝体変形量

(ロ)-第 A. 76 表に各緩衝体変形量を示す。緩衝体変形量は、許容変形量を満足している。

b. 加速度履歴

(ロ)-第 A. 56 図に胴上部、胴中央及び胴下部の加速度履歴を示す。(ロ)-第 A. 77 表に各部位の最大加速度を示す。

c. 蓋の横ずれ量 (参考値)

(ロ)-第 A. 78 表に各蓋の横ずれ量を示す。一次蓋及び二次蓋ともに落下側及び反落下側のずれ量が大きく、最大の横ずれ量は一次蓋の落下側の 0.81 mm であった。

d. ボルトに作用する応力 (参考値)

(ロ)-第 A. 79 表に各ボルトに作用する最大応力を示す。なお、応力は、落下衝撃負荷時にボルトに生じたひずみから算出した。一次蓋ボルト、二次蓋ボルトともに、基準値に対して十分に余裕があった。

e. 落下試験前後の漏えい率 (参考値)

(ロ)-第 A. 80 表に落下試験前後の一次蓋及び二次蓋の漏えい率を示す。一次蓋の漏えい率は落下試験前後で同程度であった。二次蓋の落下試験後の漏えい率は、落下試験前に比べ 2~3 桁程度増加したが、密封性能を維持する基準値 (5×10^{-4} Pa m^3/s [= 5×10^{-3} ref cm^3/s]) を満足した。

(□)-第 A. 76 表 9.3 m 傾斜落下時の緩衝体変形量

部位	変形量 (mm)	許容変形量 (mm)
上部緩衝体	253	
下部緩衝体	174	

(□)-第 A. 77 表 9.3 m 傾斜落下時の最大加速度

計測位置	方向	最大加速度 (G)
胴上部 (0°)	落下方向	150
胴中央	落下方向	85
胴下部	落下方向	77
一次蓋	落下方向	149
二次蓋	落下方向	148

(□)-第 A. 78 表 9.3 m 傾斜落下時の蓋の横ずれ量 (参考値)

部位	位置	横ずれ量 ^(注1) (mm)
一次蓋	落下側	-0.81
	側面	0.14 / 0.21
	反落下側	-0.07
二次蓋	落下側	0.09
	側面	0.02 / -0.01
	反落下側	-0.79

(注1) 横ずれ量の符号は、各蓋が胴フランジに対し、内側へずれる場合を+、外側へずれる場合を-として示す。

(ロ)-第 A. 79 表 9.3 m 傾斜落下時の最大応力 (参考値)

部位	位置	応力成分	最大応力 ^(注1) (MPa)	基準値 ^(注2) (MPa)
一次蓋ボルト	反落下側	膜	-5	890
		曲げ	4	890
	側面	膜	3	890
		曲げ	21	890
	落下側	膜	74	890
		曲げ	82	890
二次蓋ボルト	反落下側	膜	-14	890
		曲げ	141	890
	側面	膜	-18	890
		曲げ	181	890
	落下側	膜	178	890
		曲げ	243	890

(注1)膜応力の符号は、引張を+、圧縮を-として示す。

(注2)一次蓋ボルト及び二次蓋ボルトの基準値は、 S_y (RT)とした。

(ロ)-第 A. 80 表 9.3 m 傾斜落下時の落下試験前後の漏えい率 (参考値)

部位	落下試験前 (Pa m ³ /s)	落下試験後 (Pa m ³ /s)
一次蓋	$< 1 \times 10^{-11}$	$< 1 \times 10^{-11}$
二次蓋	7.4×10^{-9}	1.6×10^{-6}

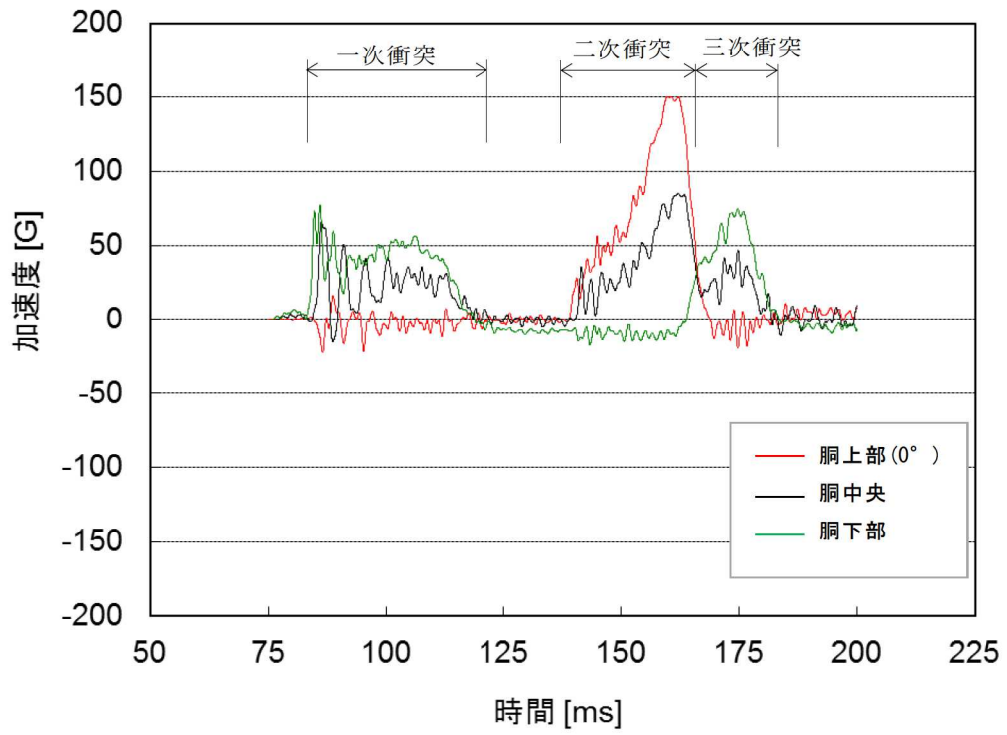


(1) 落下試験前



(2) 落下試験後

(ロ)-第 A. 55 図 9.3 m 傾斜落下試験時の落下試験モデル写真



(㍉)-第 A. 56 図 9.3 m 傾斜落下時の落下方向加速度履歴

A. 10.2 CRUSH 及び ABAQUS 解析による評価手法の検証

MSF-24P 型輸送容器の構造設計は、緩衝体性能及び密封性能の維持の観点から、落下試験モデルをベースに、基本構造が同様となるよう設計している。

本項では、上述の落下試験で得られた試験結果 (A. 10.1 4. 参照) に基づき、MSF-24P 型輸送容器の落下解析で使用している CRUSH 及び ABAQUS 解析による評価手法の妥当性を確認した。

1. CRUSH 解析手法の検証

落下試験モデルの落下試験結果 (A. 10.1 4. 参照) と CRUSH 解析の結果を比較し、CRUSH 解析による評価手法の妥当性を確認した。比較結果を (ロ)-第 A. 81 表及び (ロ)-第 A. 82 表に示す。CRUSH による加速度及び緩衝体変形量の解析結果は落下試験と同等であり、CRUSH 解析による評価手法の妥当性を確認した。

(ロ)-第 A. 81 表 落下試験結果と CRUSH コードの比較(最大衝撃加速度)

試験条件	最大衝撃加速度 (m/s ²)	
	落下試験 (注1)	CRUSH
9.3 m 頭部垂直落下	598 (61G)	618 (63G)
9.3 m 傾斜落下	1451 (148G)	1510 (154G)

(注1) 落下試験での計測結果 (A. 10.1 4. 参照)

- ・ 9.3 m 頭部垂直落下 : 胴上部の落下方向加速度の平均値
- ・ 9.3 m 傾斜落下 : 二次蓋の落下方向加速度

(ロ)-第 A. 82 表 落下試験結果と CRUSH コードの比較(緩衝体変形量)

試験条件	緩衝体変形量 (mm)	
	落下試験 (注1)	CRUSH
9.3 m 頭部垂直落下	259	308
9.3 m 傾斜落下	253	314

(注1) 落下試験での計測結果 (A. 10.1 4. 参照)

2. ABAQUS 解析手法の検証

落下試験で計測された蓋部のひずみを基に、MSF-24P 型と落下試験モデルの寸法差等を考慮して算出した MSF-24P 型輸送容器に発生する応力と、A. 6. 1 に記載される ABAQUS 解析結果とを比較し、ABAQUS 解析による評価手法の妥当性を検証した。

(1) 検証手順

以下に ABAQUS による解析手法の検証手順を示す。(□)-第 A. 57 図参照)

- a. MSF-24P 型輸送容器と落下試験モデルの蓋部を構成する各部位の寸法を抽出する。
- b. 各部位の設計条件（材質、設計温度、縦弾性係数）を抽出する。
- c. 抽出した寸法及び設計条件を基に、MSF-24P 型輸送容器と落下試験モデルの各部位の強度比を算出する。
- d. 落下衝撃力を決定する設計条件（キャスク重量、落下時の衝撃加速度）を抽出し、MSF-24P 型輸送容器と落下試験モデルの落下時に作用する荷重比を算出する。
- e. 荷重比、各部位の強度比および落下試験モデルの各部位に作用した応力（落下試験で計測したひずみから算出）を用いて、MSF-24P 型輸送容器の各部位に作用する応力を算出する。
- f. e. で算出した応力と、解析結果を比較し、ABAQUS による解析手法を検証する。

(2) 評価結果及びまとめ

9 m 頭部垂直落下時及び 9 m 水平落下時に MSF-24P 型輸送容器に発生する応力について、落下試験結果より算出した結果と解析結果の比較を(□)-第 A. 83 表及び(□)-第 A. 84 表に示す。

9 m 頭部垂直落下時及び 9 m 水平落下時の各蓋ボルトの応力は、落下試験結果より算出した応力が解析結果より小さく、ABAQUS 解析による評価手法は妥当である。

(ロ)-第 A. 83 表 9.3 m 頭部垂直落下時の各蓋ボルトの応力評価結果

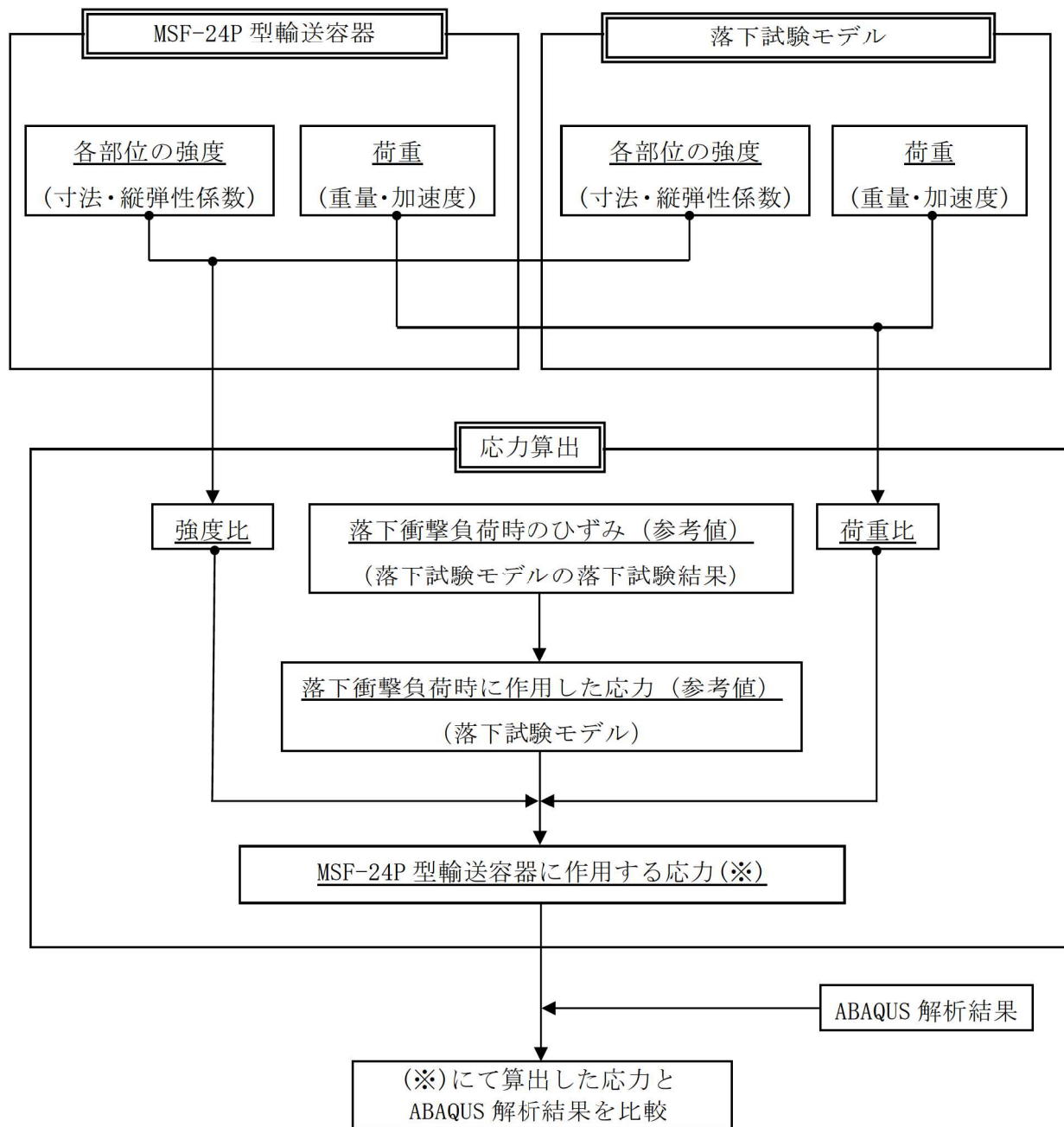
部位	変形モード	試験結果より 算出した応力 (MPa)	ABAQUS 解析結果 ^(注1) (MPa)	評価基準 (MPa)
二次蓋ボルト	引張+曲げ	47	201	848
三次蓋ボルト	引張+曲げ	51	53	848

(注 1) 落下試験結果のひずみ測定位置が蓋ボルトの中央位置（軸方向）であるため、解析結果に記載する応力も蓋ボルトの中央位置（軸方向）の応力とした。また、落下試験結果は、蓋ボルト締付後のひずみを 0 として測定しているが、ABAQUS 解析結果には初期締付力が含まれているため、記載する値は解析結果と初期締付力の差とした。

(ロ)-第 A. 84 表 9.3 m 水平落下時の各蓋ボルトの応力評価結果

部位	変形モード	試験結果より 算出した応力 (MPa)	ABAQUS 解析結果 ^(注1) (MPa)	評価基準 (MPa)
二次蓋ボルト	引張+曲げ	92	181	848
三次蓋ボルト	引張+曲げ	273	368	848

(注 1) 落下試験結果のひずみ測定位置が蓋ボルトの中央位置（軸方向）であるため、解析結果に記載する応力も蓋ボルトの中央位置（軸方向）の応力とした。また、落下試験結果は、蓋ボルト締付後のひずみを 0 として測定しているが、ABAQUS 解析結果には初期締付力が含まれているため、記載する値は解析結果と初期締付力の差とした。



(ロ)-第 A. 57 図 ABAQUS 解析手法の検証手順

A.10.3 MSF-24P 型輸送容器の落下試験結果に基づく密封性能の検証

MSF-24P 型輸送容器の 9.3 m 傾斜落下条件下における密封性能について落下試験結果に基づき評価・検証を行った。

1. MSF-24P 型輸送容器の密封設計

落下試験結果に基づき落下時の蓋密封部挙動について考察し、蓋密封部の漏えいメカニズムを分析した。それら結果に基づき、MSF-24P 型輸送容器の蓋密封部設計に反映した項目を(ロ)-第 A.85 表に示す。また、(ロ)-第 A.58 図に MSF-24P 型輸送容器及び落下試験モデルの蓋部構造の比較を示す。

2. MSF-24P 型輸送容器の密封性能評価

9.3 m 傾斜落下において、MSF-24P 型輸送容器の密封性能が維持することを、落下試験により密封性能が維持することが実証されている落下試験モデル及びその落下試験結果を用いて検証する。

落下後の漏えい率の増加は蓋に取り付けられた金属ガスケットまたはゴム O リングと胴フランジ面との口開き量の増加、金属ガスケットの相対横ずれ量の増加、金属ガスケットまたはゴム O リングの圧縮量の増加及び蓋ボルトの締付力の低下に起因するリークパスの発生とガスケット線力の低下が原因である。したがって、蓋部の変形量を抑えることが密封性能の維持につながる。そこで、MSF-24P 型輸送容器の蓋、胴フランジ及び蓋ボルトの変形量が落下試験モデルに比べて小さいことを示すことにより、MSF-24P 型輸送容器の密封性能を検証する。

また、MSF-24P 型輸送容器の三次蓋構造に対して落下試験モデルは二次蓋構造であるが、荷重の伝達経路と蓋密封部の構造について、MSF-24P 型輸送容器の三次蓋周辺部（最外の蓋）と落下試験モデルの二次蓋周辺部（最外の蓋）は同様であり、MSF-24P 型輸送容器の二次蓋周辺部及び一次蓋周辺部（内側の蓋）と落下試験モデルの一次蓋周辺部（内側の蓋）で同様である。したがって、MSF-24P 型輸送容器の蓋密封部（三次蓋）は落下試験モデルの蓋密封部（二次蓋）と、MSF-24P 型輸送容器の蓋密封部（二次蓋及び一次蓋）は落下試験モデルの蓋密封部（一次蓋）と比較する。

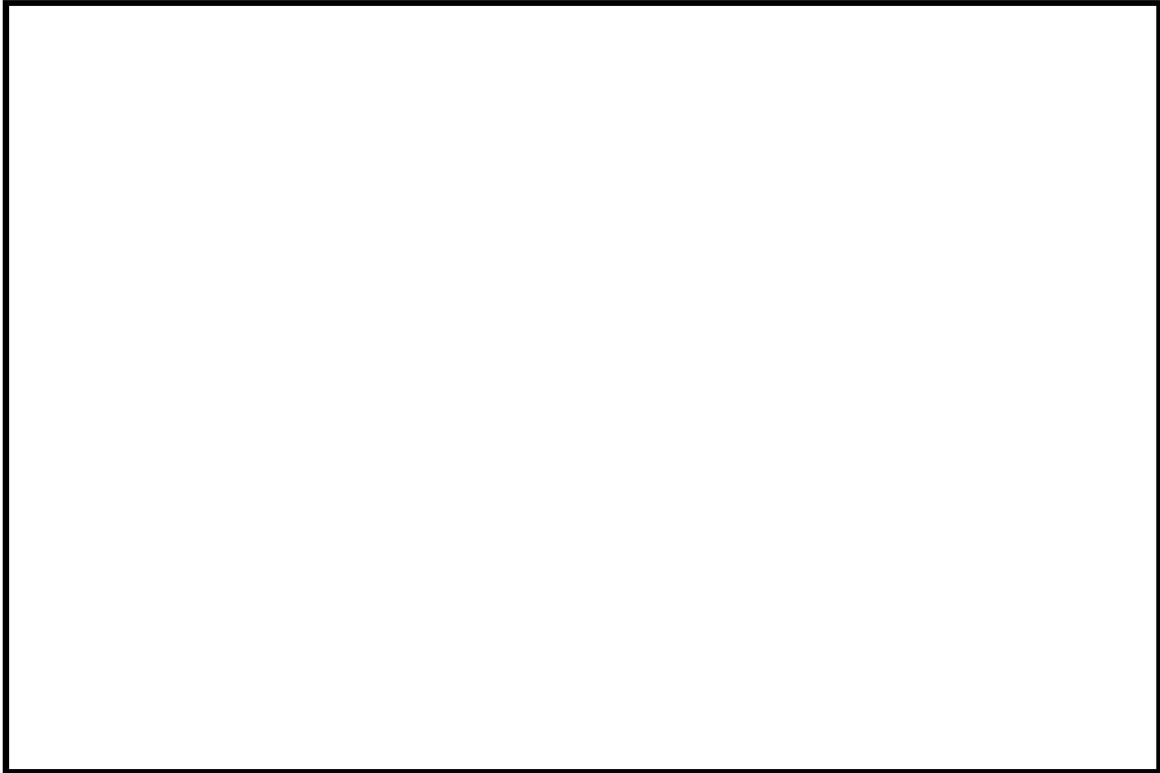
(1) 評価手順

密封性能評価方法の手順を以下に示す。(□)-第 A. 59 図参照)

- a. MSF-24P 型輸送容器と落下試験モデルの蓋部を構成する各部位(胴フランジ、一次蓋、一次蓋ボルト、二次蓋、二次蓋ボルト、三次蓋、三次蓋ボルト)の各変形モード(曲げ、圧縮、引張、オーバル変形)の剛性に影響する寸法を抽出する。
- b. 各部位の剛性に影響する設計条件(材質、設計温度、縦弾性係数)を抽出する。
- c. 抽出した寸法及び設計条件を基に、MSF-24P 型輸送容器と落下試験モデルの各部位の剛性比を算出する。
- d. 落下衝撃力を決定する設計条件(キャスク重量、落下時の衝撃加速度)を抽出し、MSF-24P 型輸送容器と落下試験モデルの落下時に作用する荷重比を算出する。
- e. 各部位の剛性比と落下時に作用する荷重比から、落下衝撃負荷時の変形量比を算出する。
- f. e. で算出した変形量比が 1 以下(MSF-24P 型輸送容器の方が小さい)であれば、落下試験モデルに比べて、より高い密封性能を有していることが示される。

(ロ)-第 A. 85 表 MSF-24P 型輸送容器の蓋密封部設計に反映した項目

部位	落下試験等の結果	蓋密封部設計に反映した項目
蓋密封部	<p>(1) 落下衝撃荷重が胴フランジ及び蓋側面に作用し、胴フランジ、二次蓋及び二次蓋ボルトが曲げ及び引張変形し、蓋の横ずれ及び口開きが生じた。</p> <p>(2) 上記(1)により、落下試験では、二次蓋(最外蓋)の 9.3m 落下試験後の漏えい率は基準値を満足したものの、試験前より 2~3 桁程度増加した。</p>	<p>以下に示す反映により、落下試験モデルよりも密封性能を向上させる。</p> <p>(1) 胴フランジ、一次蓋及び二次蓋の剛性を落下試験モデルよりも高めることで蓋密封部の変形量を低減させる。</p> <p>(2) 落下試験モデルの二次蓋(最外蓋)に加えて三次蓋(最外蓋)を追加し、密封機能の向上を図る。</p>
緩衝体	<p>(1) 緩衝体の厚肉内鋼板構造による木材保持機能が有効に機能したため、緩衝体の変形量は許容量以下であることを確認した(但し、許容変形量に対する余裕は小さい)。</p>	<p>(1) 緩衝体の厚肉内鋼板構造による木材保持機能を維持するため、輸送容器の緩衝体構造は、落下試験により検証された基本構造を採用する。</p> <p>(2) 緩衝材高温時の強度低下を考慮した上で、比較的固い木材を適用した上で、外形制限寸法内の範囲内で緩衝体を径方向に大型化し、緩衝性能を向上させる。</p>



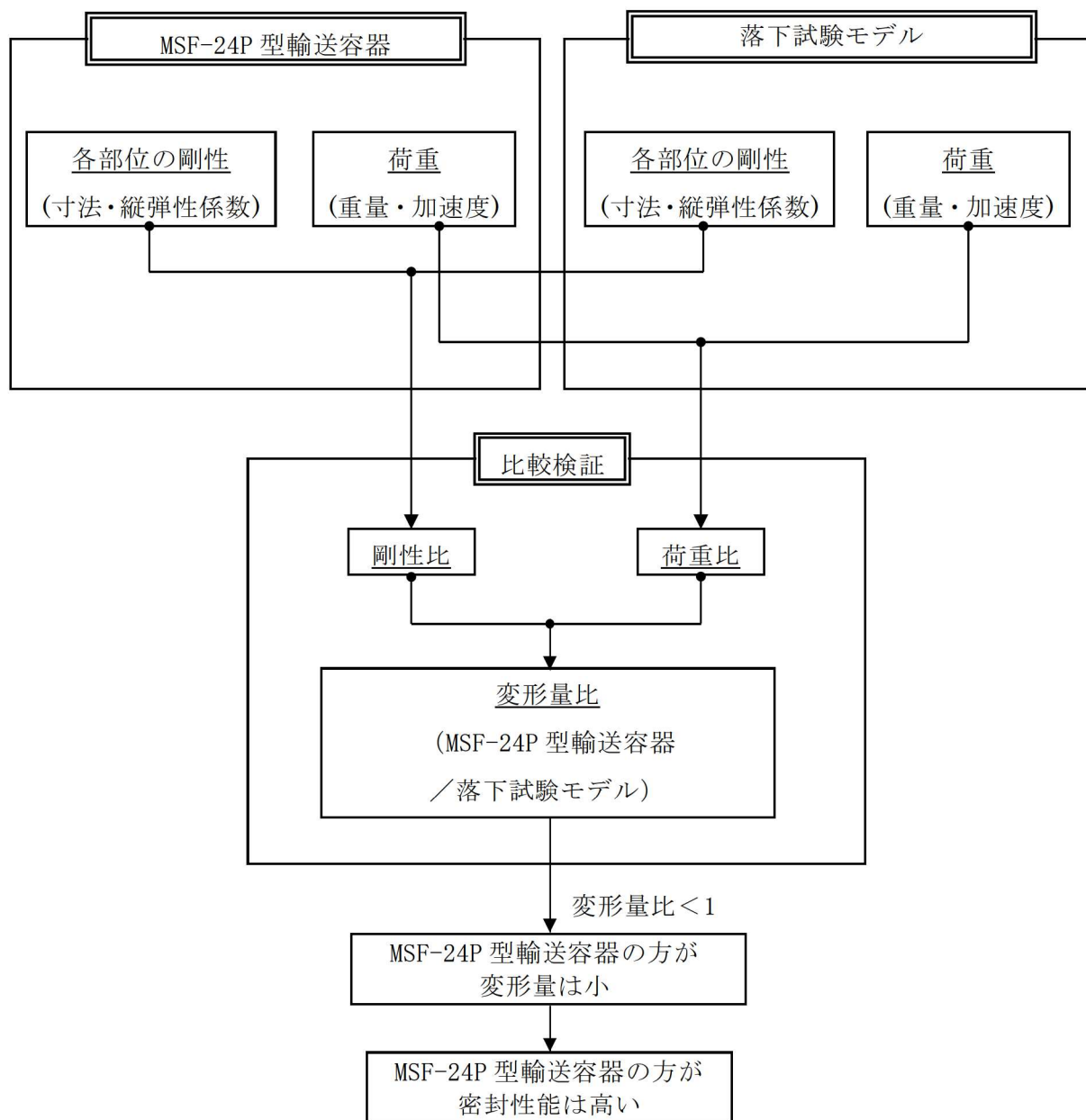
MSF-24P 型輸送容器



落下試験モデル

(単位 : mm)

(㊦)-第 A. 58 図 MSF-24P 型輸送容器及び落下試験モデルの蓋密封部構造の比較



(□)-第 A. 59 図 密封性能評価手順

(2) 評価結果及びまとめ

9 m 傾斜落下において、MSF-24P 型輸送容器の密封性能が維持されていることを落下試験結果を用いて検証した。検証結果を以下に示す。

a. 9 m 傾斜落下

9 m 傾斜落下時の蓋部の変形量比較結果を(ρ)-第 A. 86 表に示す。全ての評価部位において変形量比は 1 以下であり、MSF-24P 型輸送容器の蓋部の変形量は落下試験モデルに比べ小さい。したがって、MSF-24P 型輸送容器は、落下試験モデルに比べて高い密封性能を有している。

(ρ)-第 A. 86 表 9 m 傾斜落下時の蓋部の変形量評価結果

部位 ^(注1)	変形モード	荷重比 ^(注2)	剛性比 ^(注2)	変形量比 ^(注2)
一次蓋	曲げ	0.57	1.58	0.36
一次蓋ボルト	引張	0.57	0.98	0.58
	曲げ	0.57	0.98	0.58
二次蓋	曲げ	0.46	3.86	0.12
二次蓋ボルト	引張	0.46	0.86	0.53
	曲げ	0.46	0.86	0.53
三次蓋	曲げ	0.52	0.53	0.98
三次蓋ボルト	引張	0.52	1.00	0.52
	曲げ	0.52	1.41	0.37
胴フランジ (二次蓋側)	曲げ	0.83	1.16	0.71
胴フランジ (三次蓋側)	曲げ	0.83	1.25	0.66

(注1) 部位は、MSF-24P 型輸送容器の各部位を示す。

(注2) 荷重比、剛性比及び変形量比は全て、落下試験モデルに対する MSF-24P 型輸送容器の比を示す。

A. 10.4 緩衝材低温時の強度評価

MSF-24P 型輸送容器の緩衝体緩衝材には木材（）を適用している。緩衝材である各木材は、使用最低温度である -20°C では常温時に対して強度が 16%~29%上昇する。 -20°C の木材強度を用いて評価を行った場合にキャスクへ発生する衝撃加速度は、(□)-第 A. 19 表及び(□)-第 A. 37 表に示す設計加速度（常温時の解析結果に裕度を考慮した値）に対して増加する。本項では、その衝撃加速度の増加を考慮しても、キャスクの各部位に発生する応力は評価基準を満足することを確認した。

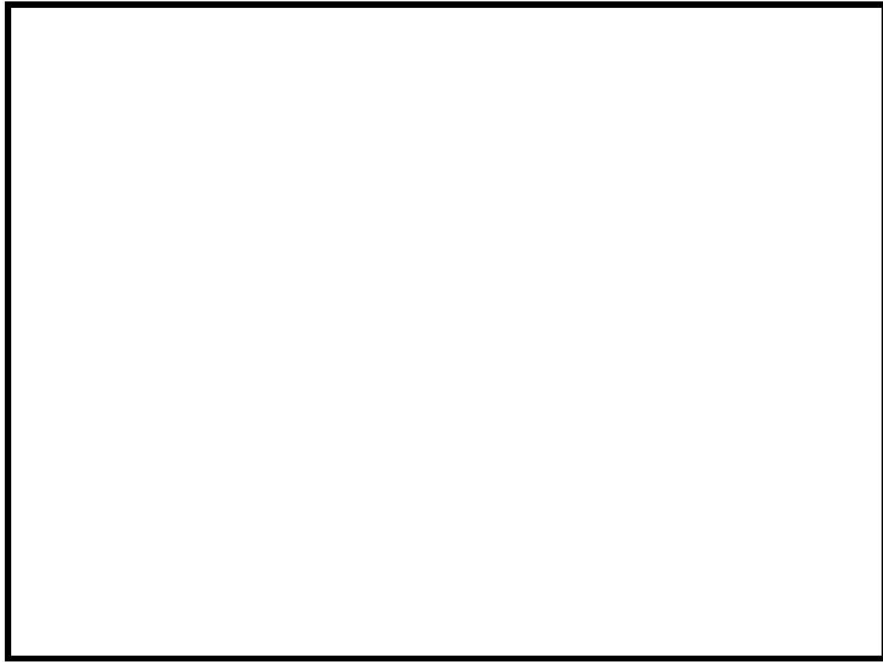
1. -20°C における木材強度の上昇割合

木材は温度が低くなると強度が上昇する。その特性を CRUSH 解析で考慮するために、温度係数として緩衝材の応力-ひずみ特性に考慮する。各木材の温度と温度係数の関係を(□)-第 A. 60 図~(□)-第 A. 62 図に示す。

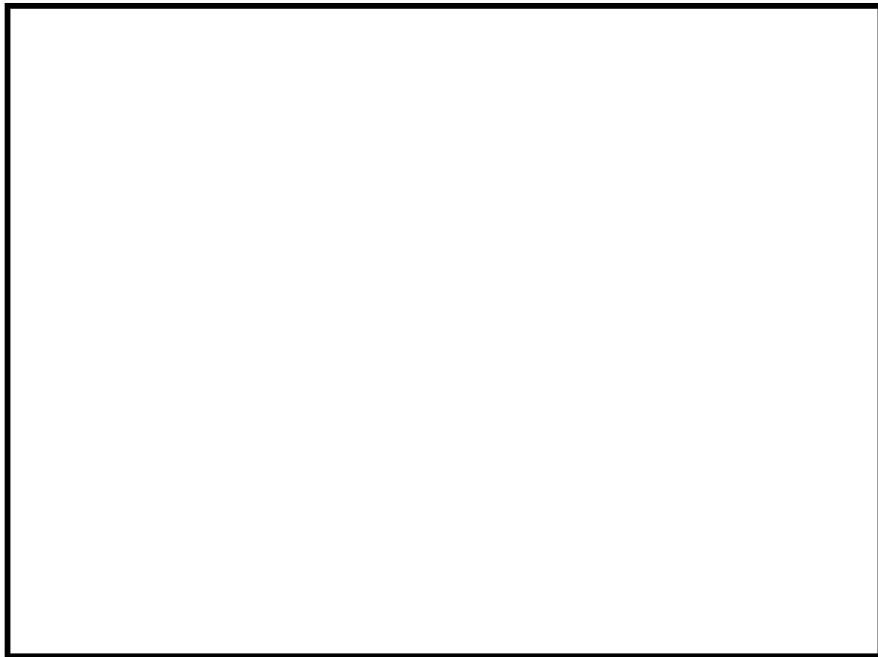
その関係式から、木材の温度を本輸送物の周囲温度 -20°C とした場合の温度係数を求めた。木材低温時に木材の応力-ひずみ特性に考慮する温度係数を(□)-第 A. 87 表に示す。

(□)-第 A. 87 表 木材の応力-ひずみ特性に考慮する温度係数（低温時： -20°C ）

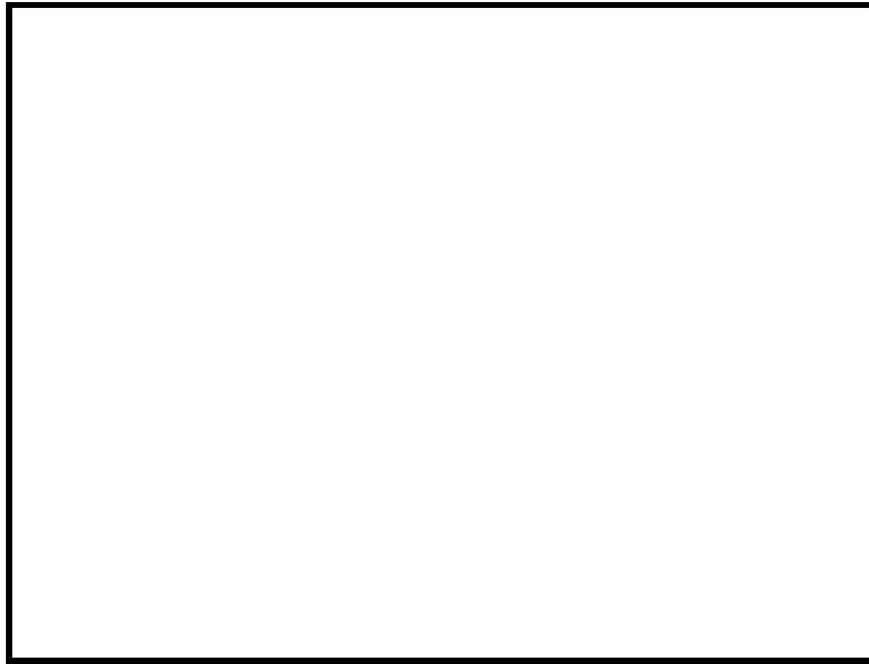
木材種	温度係数



(□)-第 A. 60 図 温度と温度係数の関係 (□)



(□)-第 A. 61 図 温度と温度係数の関係 (□)



(□)-第 A. 62 図 温度と温度係数の関係 (□)

2. -20℃における衝撃加速度

1 項に示す木材強度の上昇割合を考慮して CRUSH 解析を行った結果を(□)-第 A. 88 表 (0.3m 落下時) 及び(□)-第 A. 89 表 (9m 落下時) に示す。その他解析条件は A. 5. 3. 1 及び A. 6. 1 に示す条件と同様である。

木材温度が低くなると木材の強度は上昇するため、(□)-第 A. 88 表及び(□)-第 A. 89 表に示すとおり、落下時の衝撃加速度は常温時に比べて大きくなる。

(ロ)-第 A. 88 表 0.3m 落下時の衝撃加速度計算結果

落下姿勢	木材 温度	衝撃加速度 (m/s ²)		
		計算 結果 ^(注1) (A)	設計 加速度 ^(注1) (B)	(A)/(B)
頭部垂直	常温	265	270	0.99
	低温	299		1.11
底部垂直	常温	255	260	0.99
	低温	288		1.11
水平	常温	200	210	0.96
	低温	220		1.05
頭部コーナー	常温	35	—	—
	低温	37		—
底部コーナー	常温	32	—	—
	低温	34		—

(注1) 計算結果（常温）と設計加速度は、(ロ)-第 A. 19 表に記載する値。

(ロ)-第 A. 89 表 9m 落下時の衝撃加速度計算結果

落下姿勢	木材 温度	衝撃加速度 (m/s ²)		
		計算 結果 ^(注1) (A)	設計 加速度 ^(注1) (B)	(A)/(B)
頭部垂直	常温	568	600	0.95
	低温	617		1.03
底部垂直	常温	490	500	0.98
	低温	548		1.10
水平	常温	704	710	1.00
	低温	762		1.08
頭部コーナー	常温	469	480	0.98
	低温	481		1.01
底部コーナー	常温	464	—	—
	低温	473		—

(注1) 計算結果（常温）と設計加速度は、(ロ)-第 A. 66 表に記載する値（落下高さを 0.3m 落下と 9m 落下の合計 9.3m とした場合の解析結果）。また、計算結果（低温）は、落下高さを 0.3m 落下と 9m 落下の合計 9.3m とした場合の解析結果。

3. 衝撃加速度の上昇が構造評価に与える影響

木材常温時に対する木材低温時における衝撃加速度の上昇が構造評価に与える影響について以下に示す。

(□)-第 A. 88 表及び(□)-第 A. 89 表に示すとおり、木材低温時の衝撃加速度は、(□)-第 A. 19 表及び(□)-第 A. 37 表に示す設計加速度（構造評価に入力する加速度）から増加する。ここで、余裕率が最も小さい部位について、木材低温時の衝撃加速度において発生する応力を評価する。評価式を以下に示す。

$$\sigma_1 = (\sigma_2 - \sigma_f) \times \frac{\alpha_1}{\alpha_2} + \sigma_f \quad (\text{蓋ボルトの評価式})$$

$$\sigma_1 = \sigma_2 \times \frac{\alpha_1}{\alpha_2} \quad (\text{蓋ボルト以外の評価式})$$

ここで、

σ_1 : 木材低温時の 0.3m 又は 9m 落下時に評価部位に発生する応力 (MPa)

σ_2 : 0.3m 又は 9m 落下時の設計加速度において評価部位に発生する応力 (MPa)

σ_f : 二次蓋ボルト又は三次蓋ボルトの初期締付応力 (MPa)

α_1 : 木材低温時の衝撃加速度 (m/s^2)

α_2 : 0.3m 又は 9m 落下時の設計加速度 (m/s^2)

評価条件及び評価結果を(□)-第 A. 90 表及び(□)-第 A. 91 表に示す。(□)-第 A. 90 表及び(□)-第 A. 91 表に示すとおり余裕率が最も小さい部位へ発生する応力は評価基準を満足する。

(v)-第 A. 90 表 0.3m 落下時の強度評価

落下姿勢	0.3m 頭部垂直落下		0.3m 底部垂直落下		0.3m 水平落下	
評価部位	蓋部中性子 遮蔽材 カバー	二次蓋 ボルト	底部中性子 遮蔽材 カバー	三次蓋 ボルト	外筒	二次蓋 ボルト
σ_2	70 MPa	323 MPa	57 MPa	234 MPa	87 MPa	596 MPa
σ_f	-	200 MPa	-	190 MPa	-	200 MPa
α_1	299 m/s ²		288 m/s ²		220 m/s ²	
α_2	270 m/s ²		260 m/s ²		210 m/s ²	
σ_1	78 MPa	337 MPa	64 MPa	239 MPa	92 MPa	615 MPa
評価 基準 ^(注1)	168 MPa (f_b : <input type="text"/> °C)	885 MPa ($3S_m$: <input type="text"/> °C)	164 MPa (f_b : <input type="text"/> °C)	590 MPa ($2S_m$: <input type="text"/> °C)	166 MPa (f_b : <input type="text"/> °C)	885 MPa ($3S_m$: <input type="text"/> °C)

(注 1) 評価基準を設定する温度 (キャスク各部位の低温時温度) は、木材温度と同程度低下 (木材温度: 38°C から -20°C へ約 60°C 低下) するとし、「低温時温度 = (設計温度) - 60°C」とした。

(v)-第 A. 91 表 9m 落下時の強度評価

落下姿勢	9m 頭部垂直落下		9m 底部垂直落下		9m 水平落下		9m コーナー 落下
評価部位	外筒	二次蓋 ボルト	下部端板	三次蓋 ボルト	二次蓋 シール部	二次蓋 ボルト	三次蓋 ボルト
σ_2	170 MPa	663 MPa	107 MPa	436 MPa	155 MPa	809 MPa	236 MPa
σ_f	-	200 MPa	-	190 MPa	-	200 MPa	190 MPa
α_1	617 m/s ²		548 m/s ²		762 m/s ²		481 m/s ²
α_2	600 m/s ²		500 m/s ²		710 m/s ²		480 m/s ²
σ_1	175 MPa	677 MPa	118 MPa	460 MPa	167 MPa	854 MPa	237 MPa
評価 基準 ^(注1)	249 MPa ($1.5f_b$: <input type="text"/> °C)	884 MPa (S_y : <input type="text"/> °C)	246 MPa ($1.5f_b$: <input type="text"/> °C)	884 MPa (S_y : <input type="text"/> °C)	199 MPa (S_y : <input type="text"/> °C)	884 MPa (S_y : <input type="text"/> °C)	884 MPa (S_y : <input type="text"/> °C)

(注 1) 評価基準を設定する温度 (キャスク各部位の低温時温度) は、木材温度と同程度低下 (木材温度: 38°C から -20°C へ約 60°C 低下) するとし、「低温時温度 = (設計温度) - 60°C」とした。

A. 10.5 MSF-24P 型輸送容器のバスケットプレート用材料

アルミニウム合金 (MB-A3004-H112) に関する説明書

1. 概要

本書は、MSF-24P 型輸送容器のバスケットプレートに適用するアルミニウム合金 (MB-A3004-H112) の材料規定及び製造管理規定について説明するものである。

2. 適用範囲

本材料を MSF-24P 型のバスケットプレートに適用するにあたり、本材料及びこれを使用するバスケットは以下の事項に適合すること。

- (1) 供用期間は 60 年以下であること。
- (2) バスケットが収納されるキャスク本体内部には、ヘリウムガスを封入し、不活性ガス雰囲気は維持されていること。
- (3) バスケットは耐圧構造でないこと。
- (4) バスケットは溶接部がない構造とすること。
- (5) 本材料はボルト材として使用しないこと。
- (6) 供用状態によらずバスケットプレートの発生応力は、弾性範囲内であること。
- (7) 供用状態によらずバスケットは長期間にわたる熱応力を生じない構造とすること。

3. 材料規定

本規定は、設計評価に適用する材料規定である。なお、本規定を適用する材料は、4. に示す製造管理規定を満足しなければならない。

(1) 材料名称

材料の規定名称は (p)-第 A. 92 表 に示すものであること。

(2) 化学成分

化学成分は (p)-第 A. 93 表 に示す百分率の値の範囲内にあること。

(3) 設計応力強さ

設計応力強さは (p)-第 A. 94 表の規定によること。

(4) 許容引張応力

許容引張応力は (p)-第 A. 95 表 の規定によること。

(5) 設計降伏点

設計降伏点は(ρ)-第 A. 96 表の規定によること。

(6) 設計引張強さ

設計引張強さは(ρ)-第 A. 97 表の規定によること。

(7) 縦弾性係数

縦弾性係数は(ρ)-第 A. 98 表の規定によること。

(8) 熱膨張係数

熱膨張係数は(ρ)-第 A. 99 表の規定によること。

4. 製造管理規定

本規定は、製造管理に係る規定である。

- (1) 化学成分は、(ρ)-第 A. 93 表に示す百分率の値の範囲内にあること。この場合において、化学成分は溶湯成分分析によること。化学成分の分析試験は、JIS H 4100「アルミニウム及びアルミニウム合金の押出型材」（以下「JIS H 4100」という。）によること。
- (2) 材料の製造は、(ρ)-第 A. 63 図に示す製造フローに従い、熱間押出成形加工されたものであること。
- (3) 材料は、熱間押出成形加工後、熱処理は行わず、空冷されたものであること。熱間加工によって得られるか又はごくわずかな冷間加工を加えただけの状態であること。質別 H112 は、JIS H 0001「アルミニウム、マグネシウム及びそれらの合金－質別記号」によること。
- (4) 機械的性質は、(ρ)-第 A. 100 表に示す値に適合すること。
- (5) 製品の寸法の許容差は、以下及び JIS H 4100 によること。これを逸脱する寸法を適用する場合、機械的性質が(ρ)-第 A. 100 表を満足することを確認すること。
 - ・肉厚 : 16mm 以下
 - ・押出比^(注1) : 10 以上

(注1) ビレットの押出方向に垂直な断面積と押出材の押出方向に垂直な断面積の比
- (6) 本材料は、耐食性向上等を目的として表面処理を行う場合がある。表面処理を行う場合、機械的性質が(ρ)-第 A. 100 表を満足することを確認すること。
- (7) 本材料は、(ρ)-第 A. 63 図の製造フローの各段階において、(ρ)-第 A. 101 表に示す品質管理を行う。

- (8) 上記規定以外の規定については、JIS H 4100 又は EN 755-1「Aluminium and aluminium alloys- Extruded rod/bar, tube and profiles - Part 1: Technical conditions for inspection and delivery」によること。

(㍀)-第 A. 92 表 材料の規定名称

材料の名称	記号	質別
バスケットプレート用材料 アルミニウム合金 (MB-A3004-H112)	MB-A3004	H112

(㍀)-第 A. 93 表 化学成分規定

記号	化学成分 (mass%)											
	Si	Fe	Cu	Mn	Mg	Cr	Zn	Ga, V, Ni, B, Zr など	Ti	その他		Al
										個々	合計	
MB-A3004	0.30 以下	0.7 以下	0.25 以下	1.1 以上 1.5 以下	1.0 以上 1.3 以下	—	0.25 以下	—	—	0.05 以下	0.15 以下	残部

(ロ)-第 A. 94 表 材料の各温度における設計応力強さ S_m (注1)(注2)

単位：MPa

記号	温 度 (°C)										
	-40 ~40	75	100	125	150	175	200	225	250	275	300
MB-A3004	37	37	37	37	37	37	36	31	25	21	17

(注1) 温度の中間における値は、比例法によって計算する。

(注2) 時効による強度低下を考慮した値である。

(ロ)-第 A. 95 表 材料の各温度における許容引張応力 S (注1)(注2)

単位：MPa

記号	温 度 (°C)									
	-40 ~40	75	100	125	150	175	200	225	250	250
MB-A3004	37	37	37	37	29	21	15	11	8	8

(注1) 温度の中間における値は、比例法によって計算する。

(注2) 時効による強度低下を考慮した値である。

(ロ)-第 A. 96 表 材料の各温度における設計降伏点 S_y (注1)(注2)

単位：MPa

記号	温 度 (°C)										
	-40 ~40	75	100	125	150	175	200	225	250	275	300
MB-A3004	56	56	56	56	56	56	56	52	46	38	30

(注1) 温度の中間における値は、比例法によって計算する。

(注2) 時効による強度低下を考慮した値である。

(ロ)-第 A. 97 表 材料の各温度における設計引張強さ S_u (注1)(注2)

単位：MPa

記号	温 度 (°C)										
	-40 ~40	75	100	125	150	175	200	225	250	275	300
MB-A3004	153	153	153	151	140	126	110	93	77	63	52

(注1) 温度の中間における値は、比例法によって計算する。

(注2) 時効による強度低下を考慮した値である。

(㍀)-第 A. 98 表 材料の各温度における縦弾性係数^(注1)

単位：MPa

記号	温 度 (°C)											
	20	50	75	100	125	150	175	200	225	250	275	300
MB-A3004	73900	73300	72800	72100	71400	70600	69800	68900	67900	66900	65800	64600

(注1)温度の中間における値は、比例法によって計算する。

(㍀)-第 A. 99 表 材料の各温度における熱膨張係数^(注1)単位： $\times 10^{-6}$ mm/mm \cdot °C

記号	区分 (注2)	温 度 (°C)											
		20	50	75	100	125	150	175	200	225	250	275	300
MB-A3004	A	22.75	23.52	24.02	24.42	24.76	25.05	25.35	25.68	26.06	26.54	27.14	27.91
	B	22.61	23.14	23.48	23.76	23.99	24.17	24.33	24.48	24.63	24.79	24.99	25.24

(注1)温度の中間における値は、比例法によって計算する。

(注2)区分 A は瞬時熱膨張係数、区分 B は常温から当該温度までの平均熱膨張係数を表す。

(ロ)-第 A. 100 表 機械的性質^(注 1)

記号	引張試験 (試験温度：常温)			シャルピー衝撃試験 ^(注 2) (試験温度：-40 °C)
	引張強さ (MPa)	耐力 (MPa)	伸び (%)	吸収エネルギー (J)
MB-A3004	185 以上	85 以上	15 以上	41 以上

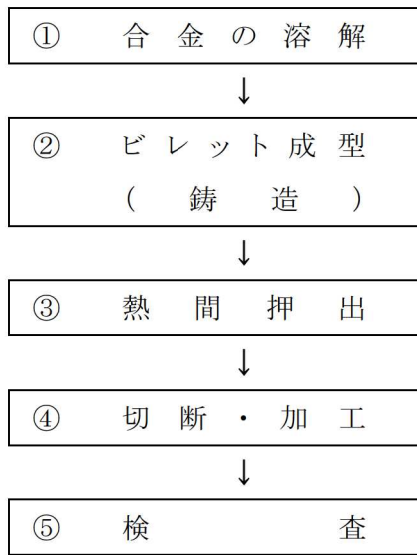
(注 1) 時効による強度低下を考慮しない供用開始前の製造管理値である。

(注 2) 吸収エネルギーの規定は JIS Z 2242 の V ノッチ試験で得られる押出方向に平行な L 方向及び垂直な T 方向各 3 試験片の個々の値である。

(ロ)-第 A. 101 表 管理程度表


製造工程 ^(注 1)	管理項目		材料保証 (規定)	製造管理 (参考)
①合金の溶解	材料特性 (初期材)	化学成分(溶湯)	○	—
⑤検査		引張強度特性	—	○
		シャルピー 衝撃特性	—	○
		組織観察	—	○
③熱間押出	製造条件	押出比	○	—
		押出条件	—	○
		押出冷却条件	—	○
		整直条件	—	○
		質別	○	—

(注 1) 製造工程は(ロ)-第 A. 63 図の製造フローに対応する。



(ロ)-第 A. 63 図 製造フロー

A. 10. 6 参考文献

- 1) (一社)日本機械学会, 「使用済燃料貯蔵施設規格 金属キャスク構造規格 (JSME S FA1-2007)」, (2007).
- 2) (一社)日本機械学会, 「発電用原子力設備規格 設計・建設規格 (JSME S NC1-2012)」, (2012).
- 3) (一社)日本機械学会, 「発電用原子力設備規格 材料規格 (JSME S NJ1-2012)」, (2012).
- 4) “Proving Test on the Reliability for PWR 15×15 Fuel Assemblies Through Three Reactor Cycles in Japan”, Proceedings of the International Topical Meeting on LWR Fuel Performance April 17-20, (1988).
- 5) (一社)日本原子力学会, 「使用済燃料・混合酸化物新燃料・高レベル放射性廃棄物輸送容器の安全設計及び検査基準 (AESJ-SC-F006:2013)」, (2014).
- 6) 
- 7)
- 8) 原燃輸送株式会社, 「高性能使用済燃料輸送容器の安全性に関する技術調査 (PWR) H5 年度上半期 (最終報告書)」, (1993).
- 9) 木材工業ハンドブック編集委員会, 「木材工業ハンドブック, 改訂 3 版」, (1982).
- 10) 産業技術センター, 「複合材料技術集成」 (1976).
- 11) 機械設計便覧編集委員会, 「機械設計便覧 (第 3 版)」, (1992).
- 12) The American Society of Mechanical Engineers, “ASME Boiler and Pressure Vessel Code, Section VIII Division 3”, (2015).
- 13) 西田正孝, 「応力集中 増補版」, (1973).
- 14) 「クレーン構造規格」, 平成 7 年労働省告示第 134 号, (1995).
- 15) (一社)日本機械学会編, 「機械工学便覧 新版」, (1984).
- 16) 幾島, 浅田, 「放射性物質輸送容器の衝突解析用簡易計算コードの開発 (I) 緩衝体付き輸送容器衝突計算コード CRUSH」, 日本原子力学会誌 Vol. 33 No. 4, (1991).
- 17) (独)原子力安全基盤機構, 「金属キャスク貯蔵技術確証試験報告書 1/3 最終報告」, (2004).
- 18) International Atomic Energy Agency, “Spent Fuel Performance Assessment and Research, Final Report of a Coordinated Research Project on Spent Fuel Performance Assessment and Research (SPAR-III) 2009-2014”, (2015).
- 19) (独)原子力安全基盤機構, 「中間貯蔵施設健全性評価手法等調査報告書最終報告」, (2005).

(v) 章 B 熱 解 析

B. 熱解析

B.1 概要

1. 輸送物の熱設計

本輸送物の熱放散システムは次のとおりであり、自然冷却にて使用済燃料の崩壊熱を除熱している。

- ・ 胴内に収納された使用済燃料より発生する崩壊熱は、主に胴内に充填されたヘリウムの熱伝導と放射によりバスケットに伝えられる。
- ・ バスケットに伝えられた熱は主に熱伝導によってバスケット外面に伝わり、ヘリウムの熱伝導と放射により胴内面に伝えられる。
- ・ 胴内面に伝えられた熱は、熱伝導によって胴外面に伝えられる。
- ・ 胴外面に伝えられた熱は、主に胴と外筒の間に設けられた銅製の伝熱フィンの熱伝導によって外筒に伝えられる。
- ・ 外筒に伝えられた熱は、放射と空気の自然対流により大気に放散される。

(□)章 B 熱解析では、一般の試験条件における輸送物各部の温度を求め、構成部品の温度が使用可能温度を超えないことを示すとともに、他の解析への条件を示す。また、一般の試験条件において人の近づきうる表面の最高温度が 85 °C 以下であることを示す。

さらに、特別の試験条件における輸送物各部の温度を求め、構成部品の健全性に与える影響を示すとともに、他の解析への条件を示す。

上記に加え、一般及び特別の試験条件における輸送物各部の圧力を求め、他の解析への条件を示す。

2. 熱解析の条件

熱解析は、(□)-第 B.1 表に示す条件で行う。

輸送物の最大崩壊熱量は、(イ)-第 A.1 表に示したように 15.8 kW 以下であるが、熱解析ではこれに余裕をみた設計崩壊熱量とする。

(ロ)-第B.1表 熱解析の主な条件及び方法

項目	条件	一般の試験条件			特別の試験条件		
		最高温度評価条件	人の近づきうる表面の最高温度評価条件	最低温度評価条件	火災前	火災時	火災後
設計崩壊熱量	周囲温度	18.1 kW	18.1 kW	0 kW	18.1 kW	18.1 kW	18.1 kW
	太陽熱放射	静止空気 38 °C	静止空気 38 °C	静止空気 -20 °C	静止空気 38 °C	火災 30 分間 800 °C	静止空気 38 °C
	周囲吸収率	あり	なし	なし	あり	あり	あり
計算モデル	輸送物	1.0	1.0	1.0	1.0	0.9 (注)	1.0
	燃料集合体	三次元 180 ° 対称全体モデル (燃料領域は均質化領域としてモデル化)					
温度分布計算プログラム	燃料集合体	燃料集合体モデル					
		ABAQUS ¹⁾ コード					

(注)火災の放射率を示す。

B.2 材料の熱的性質

熱解析で用いた材料の熱的性質を(□)-第B.2表、(□)-第B.3表及び(□)-第B.4表に示す。

(□)-第B.2表 材料の熱的性質(固体) (1/3)

材料	密度 (kg/m ³)	放射率 (-)	温度		熱伝導率 (W/(m・K))	比熱 (kJ/(kg・K))
			(K)	(°C)		
ステンレス鋼 [] ²⁾	7.92×10 ³	0.15	300	26.85	16.0	0.499
			400	126.85	16.5	0.511
			600	326.85	19.0	0.556
			800	526.85	22.5	0.620
			1000	726.85	25.7	0.644
析出硬化系 ステンレス鋼 (SUS630) ³⁾	7.75×10 ³	-	293.15	20	17.3	0.465
			398.15	125	18.9	0.501
			498.15	225	20.7	0.547
			598.15	325	22.2	0.592
			698.15	425	23.3	0.649
			798.15	525	23.9	0.743
			898.15	625	24.5	0.914
			973.15	700	25.1	0.841
炭素鋼 [] ²⁾	7.85×10 ³	-	300	26.85	43.0	0.465
			500	226.85	38.6	0.528
			800	526.85	27.7	0.622
炭素鋼 [] ²⁾	7.85×10 ³	-	300	26.85	43.0	0.465
			500	226.85	38.6	0.528
			800	526.85	27.7	0.622
ニッケル クロム モリブデン鋼 [] ³⁾	7.75×10 ³	-	293.15	20	36.3	0.445
			398.15	125	37.0	0.492
			498.15	225	37.2	0.529
			598.15	325	36.5	0.569
			698.15	425	35.0	0.614
			798.15	525	33.3	0.675
			898.15	625	31.5	0.774
			973.15	700	30.1	0.923
中性子吸収材 [] ⁴⁾	[]	0.20	293.15	20	[]	[]
			398.15	125		
			473.15	200		
アルミニウム 合金 ³⁾	2.72×10 ³	0.055 (酸化面:0.33)	293.15	20	162.1	0.888
			398.15	125	170.1	0.936
			473.15	200	173.6	0.966

(ロ)-第 B.2 表 材料の熱的性質 (固体) (2/3)

材料	密度 (kg/m ³)	放射率 (-)	温度		熱伝導率 (W/(m・K))	比熱 (kJ/(kg・K))
			(K)	(°C)		
二酸化ウラン <small>2)、5)</small>	[] <small>(注1)</small>	-	300	26.85	2.00 <small>(注2)</small>	0.237
			500	226.85		0.286
			800	526.85		0.300
			1300	1026.85		0.322
			1800	1526.85		0.369
ジルカロイ <small>2)、6)</small>	6.55×10 ³	0.8	273	-0.15	12.4	0.275
			300	26.85	12.7	0.281
			400	126.85	14.0	0.302
			600	326.85	16.5	0.326
			1000	726.85	21.6	0.366
インコネル ²⁾	8.25×10 ³	-	300	26.85	12.0	0.425
銅 ²⁾	8.88×10 ³	-	150	-123.15	428	0.322
			250	-23.15	404	0.376
			300	26.85	398	0.386
			600	326.85	383	0.425
			800	526.85	371	0.447
			1000	726.85	357	0.471
1200	926.85	342	0.492			
中性子遮蔽材 (レジン) ⁷⁾	1.67×10 ³	-	常温		0.646	1.00
[] ⁸⁾	[] <small>(注3)</small>	-	300	26.85	[]	[]
			400	126.85		
			500	226.85		
			600	326.85		
			700	426.85		
			800	526.85		
			900	626.85		
			1000	726.85		
			1100	826.85		
[] ⁸⁾	[]	-	300	26.85	[]	[]
			400	126.85		
			500	226.85		
			600	326.85		
			700	426.85		
			800	526.85		
			900	626.85		
			1000	726.85		
			1100	826.85		

(注1) 文献値に理論密度比を乗じた値

(注2) 照射を考慮した値

(注3) [] の値

(ロ)-第 B. 2 表 材料の熱的性質 (固体) (3/3)

材料	密度 (kg/m ³)	放射率 (-)	温度		熱伝導率 (W/(m・K))	比熱 (kJ/(kg・K))
			(K)	(°C)		
[] ⁸⁾	[]	-	300	26.85	[]	[]
			400	126.85		
			500	226.85		
			600	326.85		
			700	426.85		
			800	526.85		
			900	626.85		
			1000	726.85		
1100	826.85					

(ロ)-第 B. 3 表 材料の熱的性質 (気体)

材料	温度		密度 (kg/m ³)	熱伝導率 (W/(m・K))	比熱 ^(注1) (kJ/(kg・K))	動粘性 係数 (mm ² /s)	粘性係数 (μPa・s)	プラントル数 (-)
	(K)	(°C)						
ヘリウム ²⁾	200	-73.15	0.16253	0.1150 ^(注2)	3.116	-	15.35	0.693
	300	26.85		0.1527 ^(注2)		-	19.93	0.678
	400	126.85		0.1882 ^(注2)		-	24.29	0.670
	500	226.85		0.2212 ^(注2)		-	28.36	0.666
	600	326.85		0.2523 ^(注2)		-	32.21	0.663
	700	426.85		0.2780 ^(注2)		-	35.89	0.670
	800	526.85		0.3040 ^(注2)		-	39.43	0.670
	1000	726.85		0.3540 ^(注2)		-	46.16	0.680
空気 ²⁾	200	-73.15	1.1763	0.01810	0.7220	7.58	-	0.747
	300	26.85		0.02614	0.7200	15.83	-	0.717
	400	126.85		0.03305	0.7280	26.39	-	0.715
	500	226.85		0.03951	0.7440	38.58	-	0.710
	600	326.85		0.04560	0.7650	52.36	-	0.710
	700	426.85		0.05130	0.7890	67.70	-	0.715
	800	526.85		0.05690	0.8120	84.50	-	0.719
	900	626.85		0.06250	0.8350	102.70	-	0.722
	1000	726.85		0.06720	0.8550	122.10	-	0.732
	1100	826.85		0.07170	0.8730	143.00	-	0.742
キセノン ^{2)、9)}	300	26.85	-	0.00562	0.09502	-	23.30	-
	400	126.85	-	0.00728		-	30.29	-
	500	226.85	-	0.00881		-	36.80	-
	600	326.85	-	0.01025		-	42.81	-

(注1) 文献記載の定圧比熱を定積比熱に換算して求めた値。

(注2) 圧力を考慮しても常圧の値と有意な差がないため、常圧の値を設定している。

(□)-第 B.4 表 材料の熱的性質 (その他)

材料	放射率 ²⁾ (-)	吸収率 ¹⁰⁾ (-)
塗装面	0.8	0.5

B.3 構成要素の仕様

1. 二次蓋 O リング

EPDM

使用可能温度 : $-60\text{ }^{\circ}\text{C}\sim 150\text{ }^{\circ}\text{C}$ ¹¹⁾ /一般の試験条件

: $-60\text{ }^{\circ}\text{C}\sim 300\text{ }^{\circ}\text{C}$ ¹²⁾ /特別の試験条件

2. 一次蓋及び二次蓋金属ガスケット

アルミニウム、ニッケル基合金

使用可能温度 : $130\text{ }^{\circ}\text{C}$ ¹³⁾ /一般の試験条件

: $190\text{ }^{\circ}\text{C}$ ¹⁴⁾ /特別の試験条件

3. 中性子遮蔽材

レジン

使用可能温度 : $149\text{ }^{\circ}\text{C}$ ⁷⁾ /一般の試験条件

: $180\text{ }^{\circ}\text{C}$ ¹⁵⁾ /特別の試験条件

B.4 一般の試験条件

B.4.1 熱解析モデル

B.4.1.1 解析モデル

輸送物の熱解析は、ABAQUS コードを用いた有限要素法により行った。解析に用いるモデル及び解析条件を以下に示す。

1. 解析に用いる各モデル

一般の試験条件における本輸送物の各部位の温度を算出するために、解析モデルとして以下の2種類のモデルを適用した。

- ・三次元 180° 対称全体モデル（以下「全体モデル」という。）
- ・燃料集合体モデル

各解析モデルにおける温度算出部位は次のとおりである。

全体モデル …………… 上・下部緩衝体表面、胴、外筒、下部端板、一次蓋、二次蓋、三次蓋、一次蓋金属ガスケット、二次蓋金属ガスケット、三次蓋 O リング、一次蓋ボルト、二次蓋ボルト、三次蓋ボルト、蓋部中性子遮蔽材、底部中性子遮蔽材、側部中性子遮蔽材、蓋部中性子遮蔽材カバー、底部中性子遮蔽材カバー、バスケット^(注)、伝熱フィン、トラニオン

燃料集合体モデル …… 燃料集合体

(注)バスケットは、アルミニウム合金製のバスケットプレート、ほう素添加アルミニウム合金製の中性子吸収材、アルミニウム合金製のバスケットサポートで構成される。本評価におけるバスケットの最高温度は、これらの構成部材の最高温度とする。

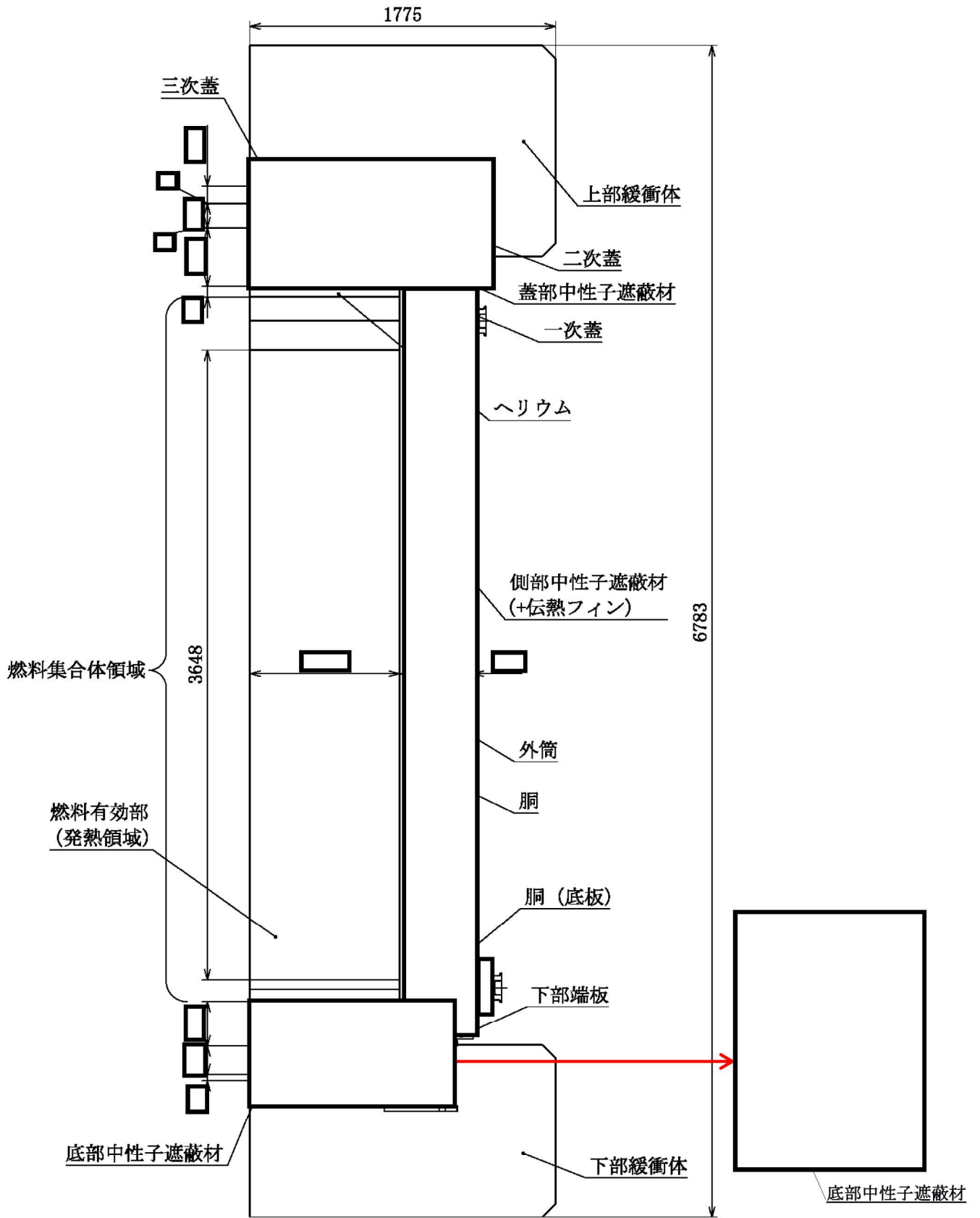
全体モデルでは、バスケット格子の内側の領域（以下「燃料集合体領域」という。）を燃料集合体構成部材（ジルカロイ、二酸化ウラン、ステンレス鋼、インコネル）及び充填気体（ヘリウム）の均質化領域としてモデル化する。燃料集合体領域の平均密度及び軸方向の平均熱伝導率は体積平均値とし、平均比熱は重量平均値とする。また、径方向の平均熱伝導率については、燃料有効部のみ燃料集合体モデルの解析結果を基に設定した等価熱伝導率とし、それ以外の領域においては体積平均値とする。

全体モデルに入力する崩壊熱量は、軸方向の燃焼度分布を考慮する。

燃料集合体の最高温度については、燃料集合体モデルで算出する。燃料集合体モデルでは、燃料棒の領域を構成部材（二酸化ウラン、ジルカロイ）及び封入されていた気体（ヘリウム）の均質化領域としてモデル化する。燃料棒の均質化領域における平均熱伝導率は体積平均値とする。また、制御棒案内シンプル及び炉内計装用案内シンプルについては、燃料棒と同じように均質化領域としてモデル化する。制御棒案内シンプル及び炉内計装用案内シンプルは、燃料棒と同じ形状及び物性値を入力しているが、崩壊熱量は入力しない。

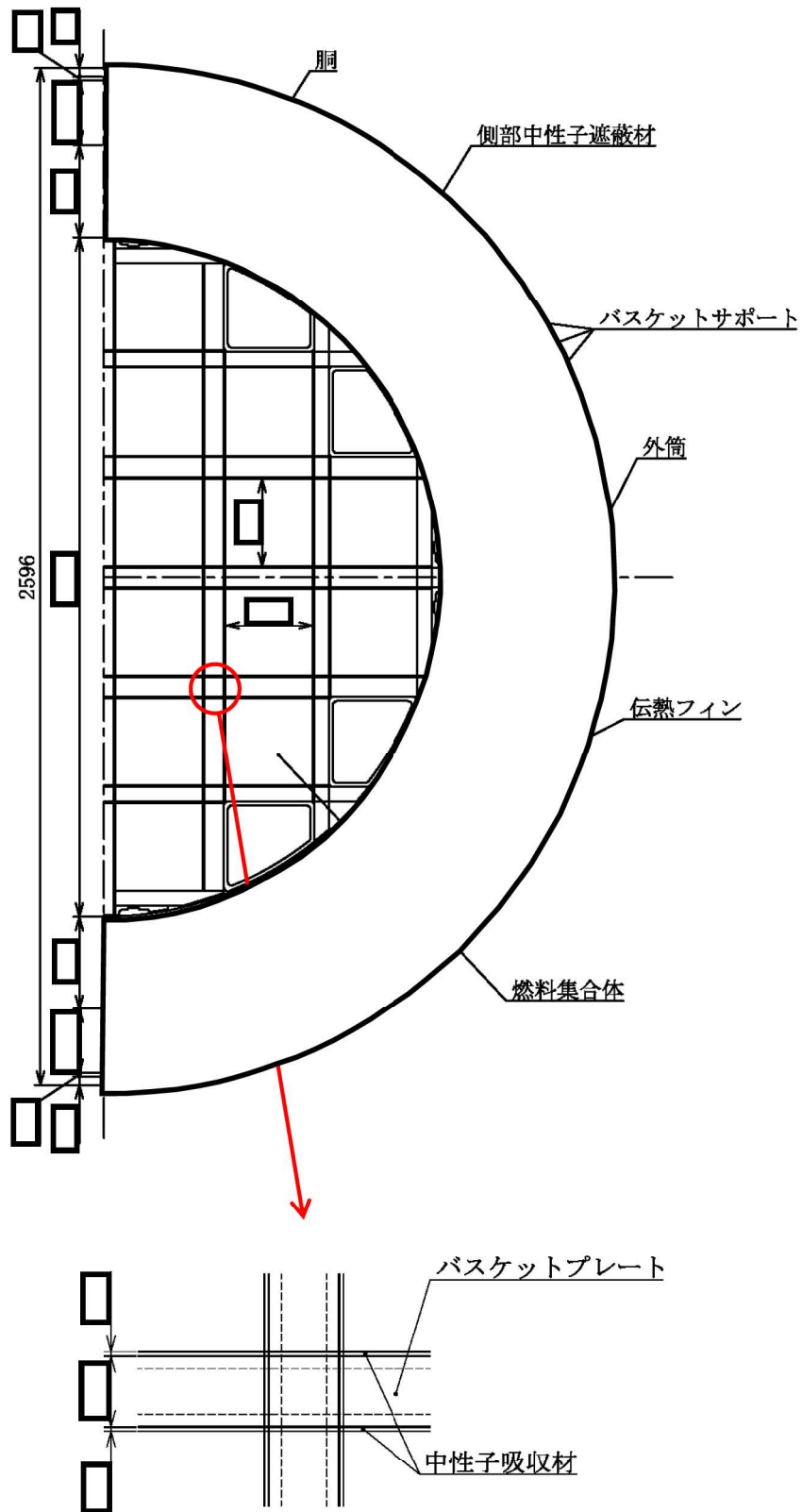
一般の試験条件のうち、水噴霧試験では輸送物に変形しないが、自由落下試験、積み重ね試験及び貫通試験では緩衝体に変形が生じる。ただし、一般の試験条件では、緩衝体に変形しないものとする方が収納物の温度及び緩衝体最高温度を高く評価できることを確認したことから、一般の試験条件の熱解析では、輸送物の変形は考慮しない。

各解析モデルの形状及び要素分割図を (ロ)-第 B. 1 図～(ロ)-第 B. 4 図に示す。



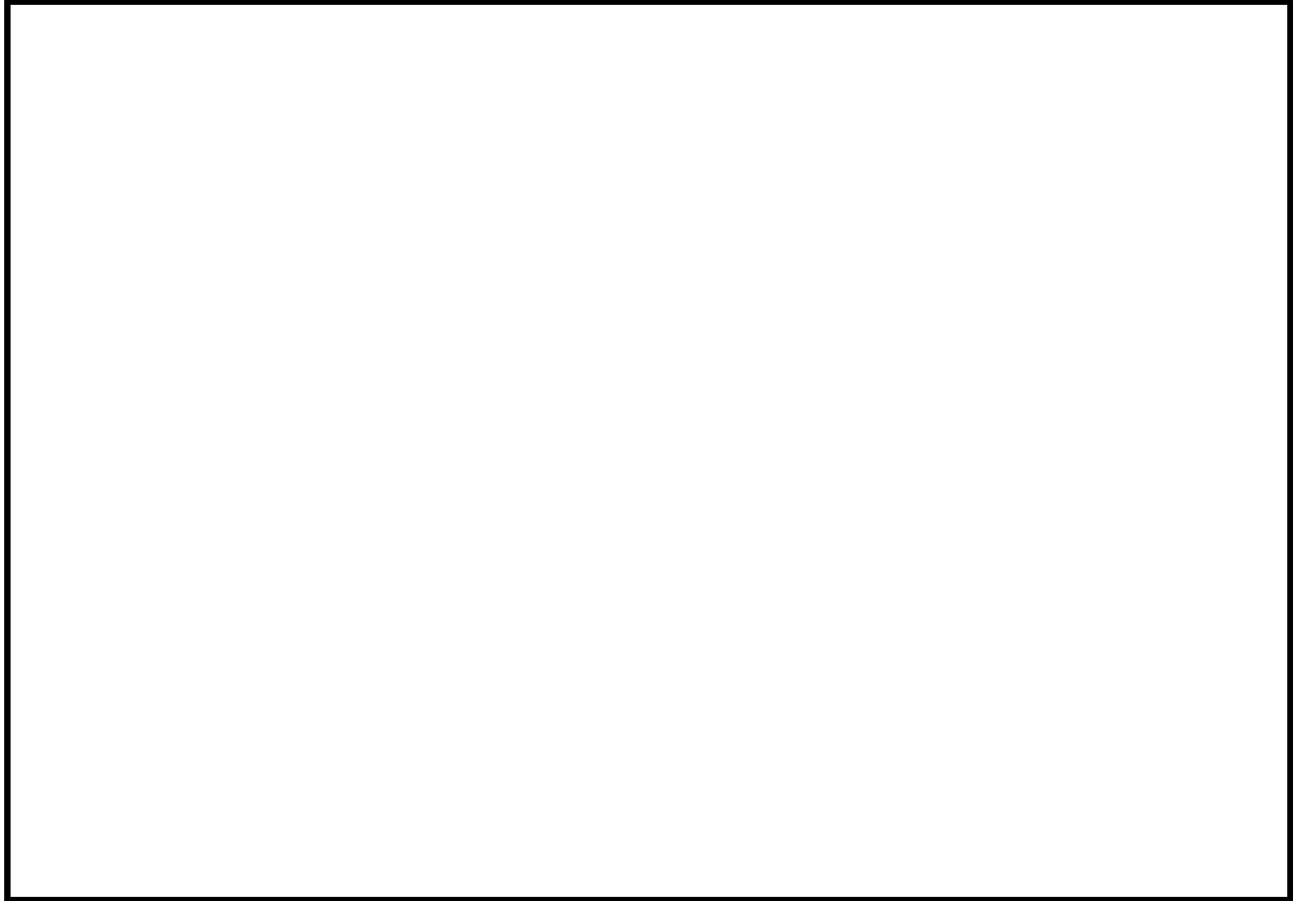
(単位：mm)

(□)-第 B. 1 図 一般の試験条件の全体モデル形状図 (1/2) (縦断面図)



(単位：mm)

(ロ)-第 B. 1 図 一般の試験条件の全体モデル形状図 (2/2) (横断面図)

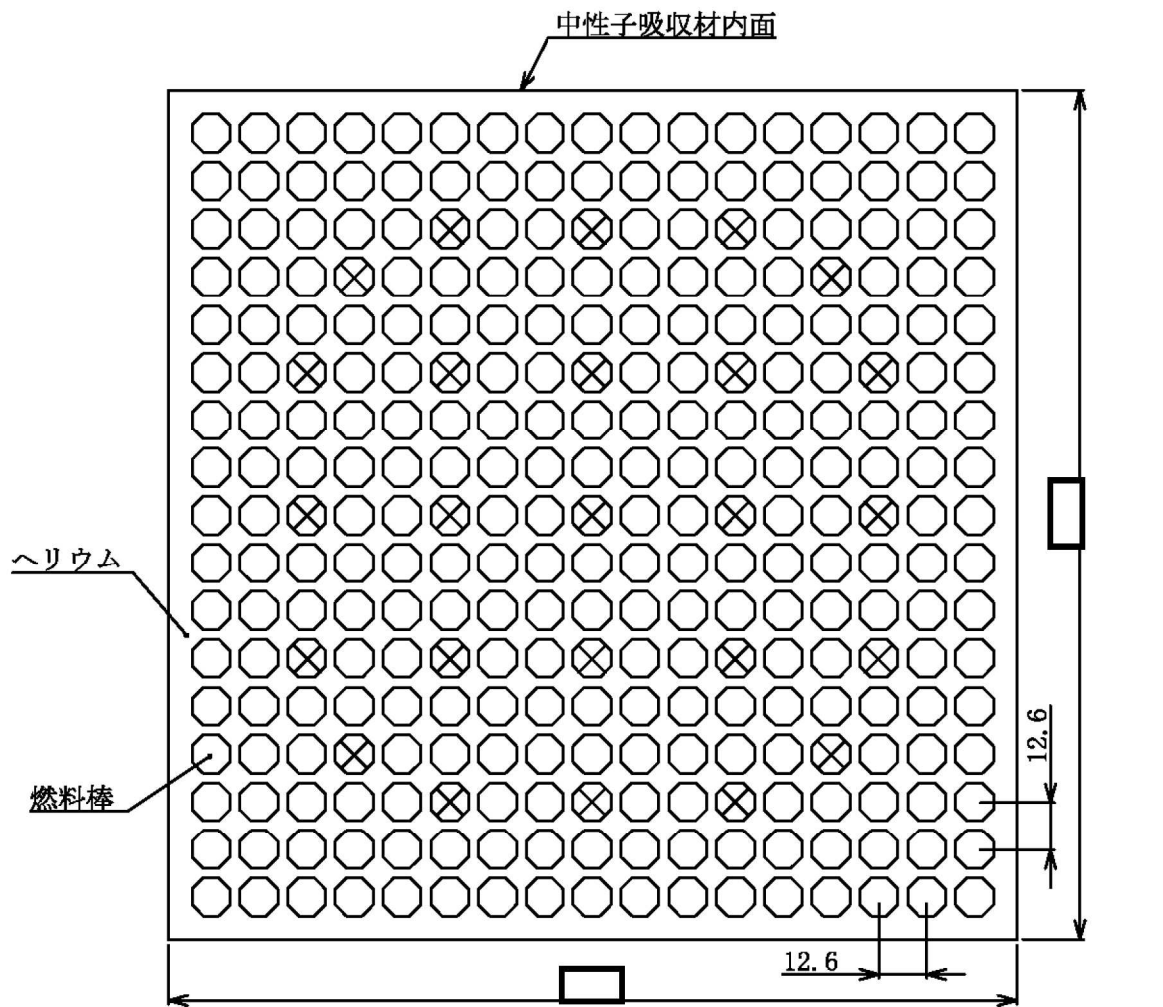


(モデル全体)

(バスケット)

(燃料集合体領域)

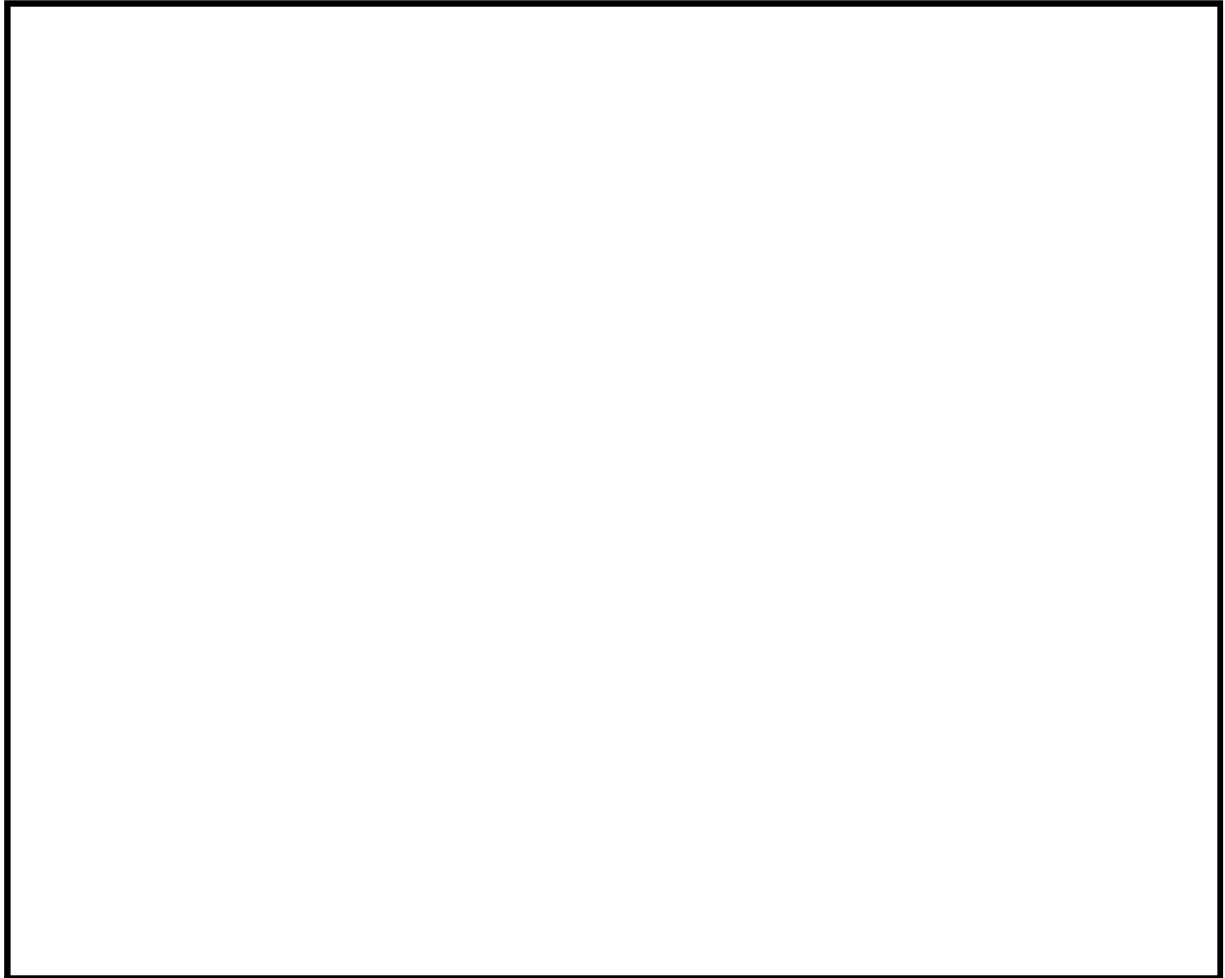
(□)-第 B. 2 図 一般の試験条件の全体モデル要素分割図



(単位 : mm)

(注) ⊗ は制御棒案内シンプル等であり、発熱はない。

(B)-第 B. 3 図 燃料集合体モデル形状図



(㊦)-第 B. 4 図 燃料集合体モデル要素分割図

2. 解析条件

一般の試験条件における解析条件を(□)-第 B. 5 表に示す。また、太陽熱放射を(□)-第 B. 6 表に示す。各モデルにおいて考慮した解析条件は次のとおりである。

- 全体モデルにおいては、燃料集合体の軸方向の発熱分布を考慮するために、燃料有効部の範囲を 48 領域に分割した。燃料集合体 24 体あたりの燃料有効部における軸方向崩壊熱量分布を(□)-第 B. 5 図に示す。
- 全体モデルにおいては、中央領域 12 体に最高燃焼度の崩壊熱量を入力した。一方、外周部 12 体には、キャスクに収納する 24 体の崩壊熱量が平均燃焼度の崩壊熱量 24 体分となるように調整した崩壊熱量を入力した。径方向の崩壊熱量設定を(□)-第 B. 6 図に示す。
- 全体モデルにおいては、周囲温度を境界条件として、自然対流熱伝達と放射による放熱を考慮した。
- 燃料集合体モデルにおいては、全体モデルで算出したバスケット内面温度を境界温度とした。また、崩壊熱量については、燃料棒における単位体積あたりの崩壊熱量を設定した。

(ロ)-第 B. 5 表 一般の試験条件の熱解析条件

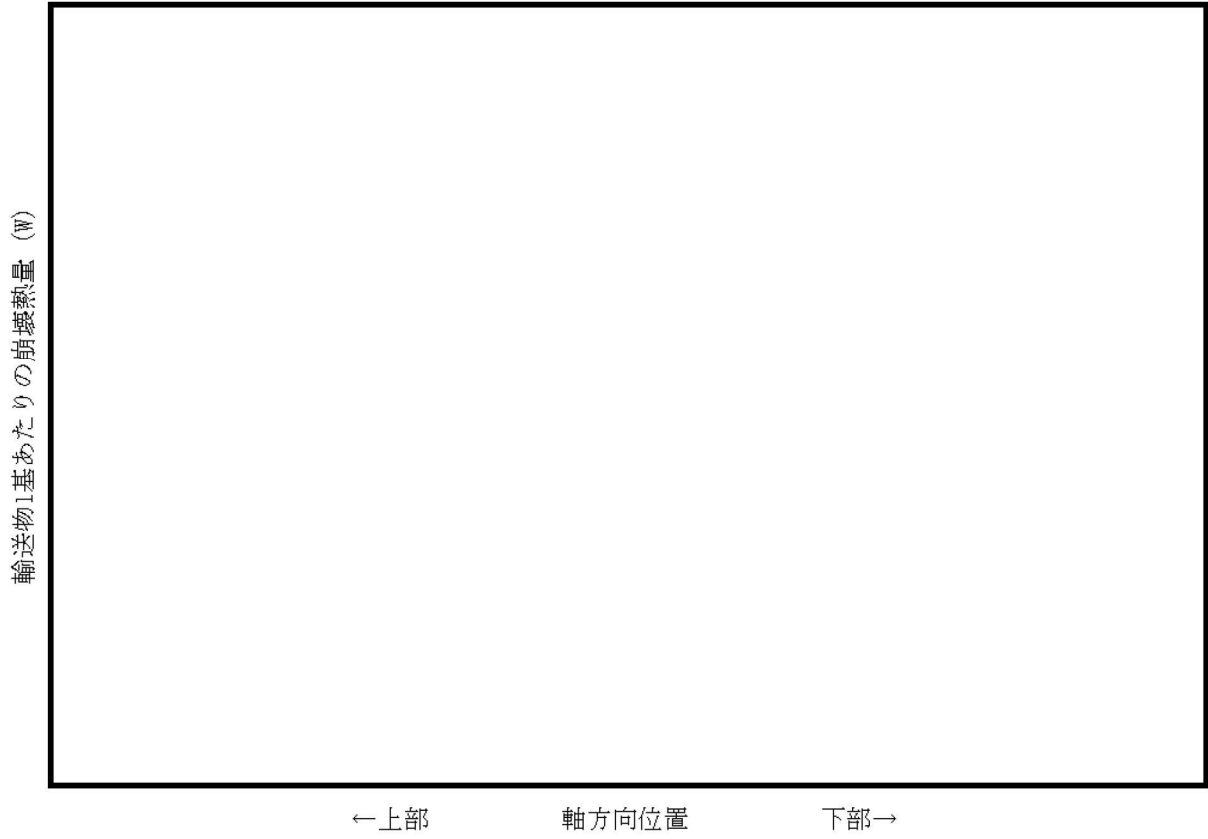
項目		最高温度 評価条件	人の近づきうる 表面の最高温度 評価条件	最低温度 評価条件
設計崩壊熱量	全体 モデル			0 W/体
	中央部 外周部			0 W/体
	燃料集合体モデル			0 W/mm ³ /本
環境条件	周囲温度	38 °C		-20 °C
	太陽熱放射	あり	なし	
	周囲吸収率	1.0		
輸送容器 表面	放射率	0.8		
	吸収率	0.5	—	
緩衝体、 トランニオン 表面	放射率	0.15		
	吸収率	0.5	—	

(ロ)-第 B. 6 表 太陽熱放射データ

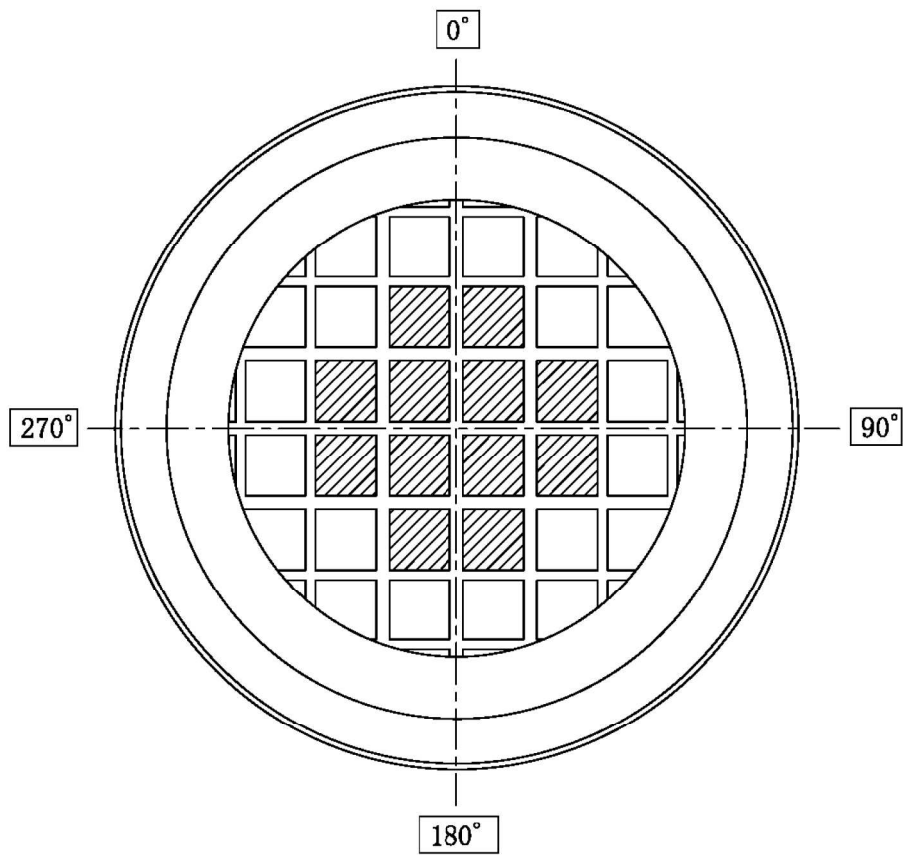
表面の形状及び位置の区分	太陽の熱放射 ^(注1) (W/m ²)
垂直に輸送される表面	200
その他の表面 (曲面) ^(注2)	400


(注1)技術基準上は一日につき 12 時間の負荷であるが、解析上は連続照射とする。


(注2)技術基準上は「水平に輸送されない下向きの表面」に対しては 200 W/m²であるが、解析上は安全側にすべての曲面に対して 400 W/m²とする。



(□)-第 B. 5 図 燃料集合体 24 体当りの軸方向崩壊熱量分布



 : 最高燃焼度の崩壊熱量(中央部 12 体)

 : 平均燃焼度の崩壊熱量 (24 体分) から中央部の最高燃焼度の崩壊熱量 (12 体分) を差し引き、外周部の収納体数 (12 体) で平均化した崩壊熱量

(□)-第 B. 6 図 径方向の崩壊熱量設定

B. 4. 1. 2 試験モデル

該当なし。

B. 4. 2 最高温度

一般の試験条件における、B. 4. 1 に記載した解析モデル及び条件に基づいて求めた輸送物各部の最高温度を(□)-第 B. 7 表に示す。

また、一般の試験条件において太陽熱放射のある場合の輸送物とその収納物の各部の温度分布を(□)-第 B. 7 図及び(□)-第 B. 8 図に示す。さらに、太陽熱放射のない場合の輸送物各部の温度分布を(□)-第 B. 9 図に示す。

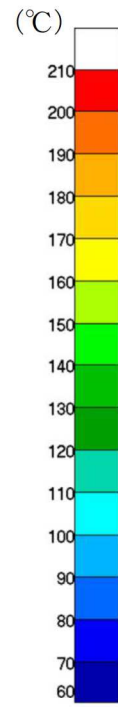
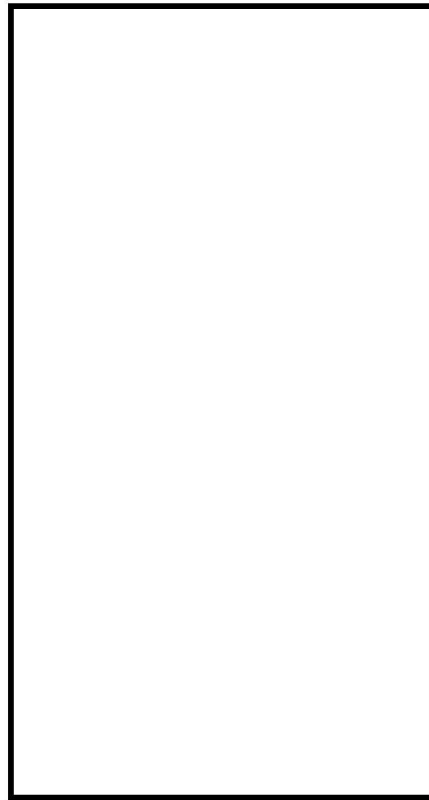
一般の試験条件において、各部の温度は B. 3 に示す使用可能温度を超えることはない。一方、太陽熱放射のない場合に人が容易に近づきうる表面としては、(□)-第 B. 7 表に示すように緩衝体表面は 82 °C であり、基準値の 85 °C 以下であるが、外筒外面及びトラニオン温度はそれぞれ 90°C 及び 103 °C であり 85 °C を超える。ただし、外筒及びトラニオン部には必要に応じ近接防止金網 (66°C 以下 (B. 6. 3 参照)) を取り付けて輸送するため^(注)、人が容易に近づきうる表面の温度は全て 85 °C 以下である。

(注) 輸送中の衝撃等により近接防止金網の脱落等が生じた場合、再取付けをする等の対策を施した上で、輸送に供するものとする。

(ロ)-第 B.7 表 一般の試験条件における最高温度 (単位: °C)

部位	最高温度評価条件 (太陽熱放射あり)	人の近づきうる表面の 最高温度評価条件 (太陽熱放射なし)
緩衝体表面	99	82
外筒	114	90 (注)
下部端板	115	99
伝熱フィン	115	100
側部中性子遮蔽材	117	102
蓋部中性子遮蔽材	110	94
底部中性子遮蔽材	127	111
胴 (底板)	133	118
胴 (本体部)	121	106
胴 (フランジ部)	111	95
一次蓋	110	94
二次蓋	105	89
三次蓋	103	87
一次蓋ボルト	109	94
二次蓋ボルト	105	89
三次蓋ボルト	103	87
一次蓋金属ガスケット	109	93
二次蓋金属ガスケット	105	89
三次蓋 O リング	103	86
蓋部中性子遮蔽材カバー	108	92
底部中性子遮蔽材カバー	117	101
トラニオン	118	103
バスケット	177	163
燃料集合体	206	193

(注) 外筒外面の最高温度

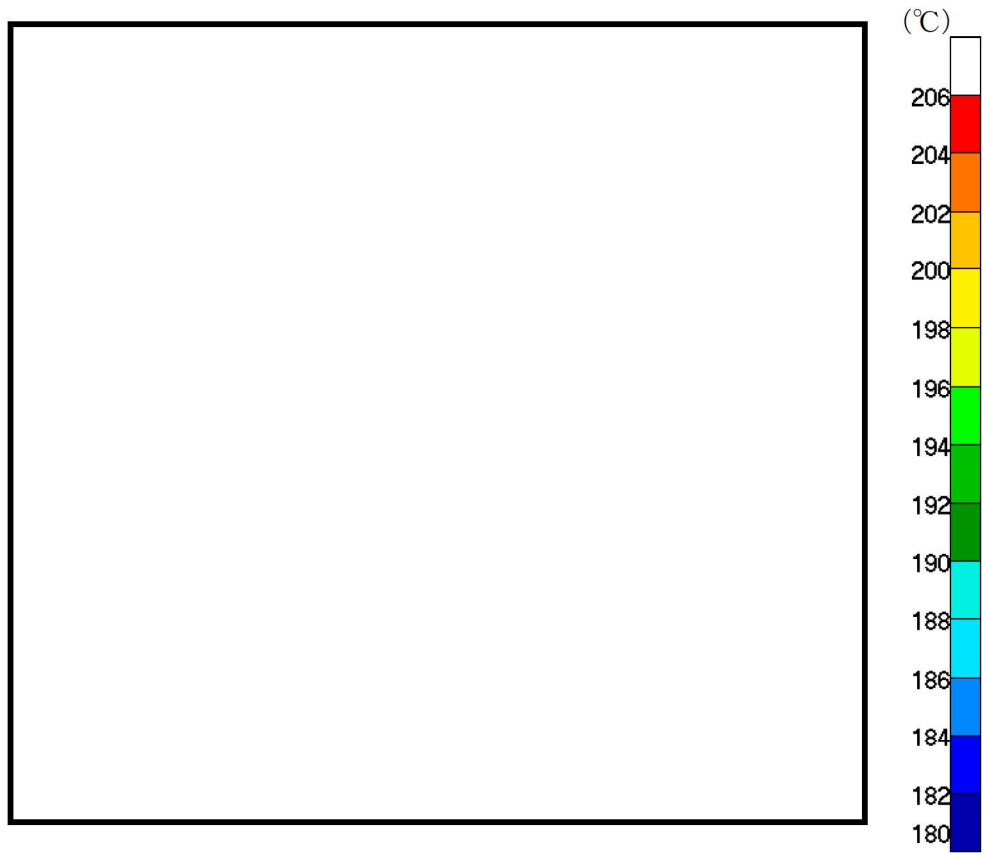


(全体)

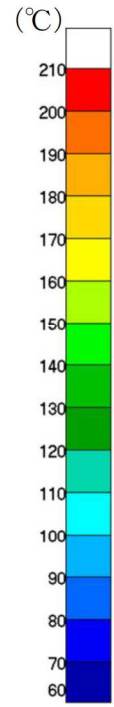
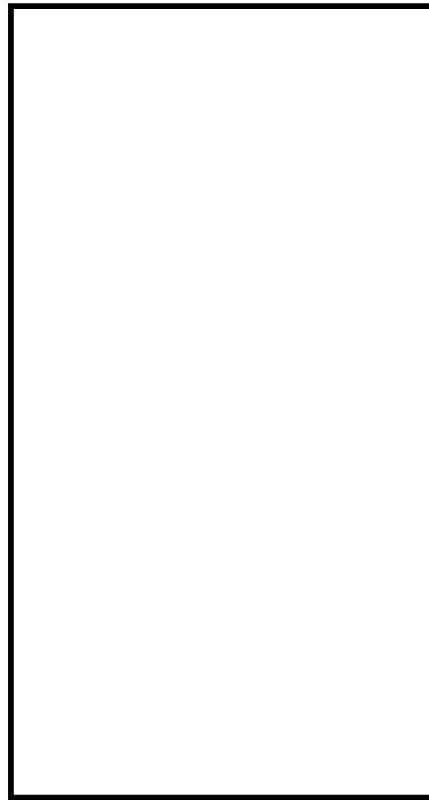


(燃料集合体最高温度位置断面)

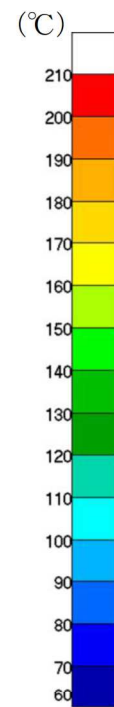
(㊦)-第 B. 7 図 一般の試験条件の全体モデル温度分布 (最高温度評価条件)



(□)-第 B. 8 図 一般の試験条件の燃料集合体モデル温度分布 (最高温度評価条件)



(全体)



(燃料集合体最高温度位置断面)

(ア)-第 B. 9 図 一般の試験条件における全体モデル温度分布
(人の近づきうる表面の最高温度評価条件)

B.4.3 最低温度

本輸送物の最低温度評価条件は、(ρ)-第 B.5 表で示したとおり、周囲温度が-20 °Cであり、また、太陽熱放射がなく崩壊熱量が 0 kW であるため、輸送物の全部位が-20 °Cに達するが、輸送物の健全性に問題はない。また、本輸送物は乾式であり、胴内はヘリウムが充填されるため凍結することはない。

B.4.4 最大内圧

一般の試験条件において輸送物に最大内圧が生じる条件は、(ρ)-第 B.5 表で示した最高温度評価条件であり、この条件における一次蓋と胴で構成される空間の圧力（以下「胴内圧」という。）、一次蓋と二次蓋で構成される空間の圧力（以下「一二次蓋間圧力」という。）、二次蓋と三次蓋で構成される空間の圧力（以下「二三次蓋間圧力」という。）、及び三次蓋と胴で構成される密封装置の圧力（以下「三次蓋-胴内圧力」という。）の計算方法及び計算結果を以下に示す。

なお、A.5 にて述べたように、燃料棒は一般の試験条件において破損しないため、燃料棒の破損による圧力上昇はない。

1. 胴内圧

輸送物の内部には、輸送に先立ち燃料集合体を収納した後、所定の圧力となるまでヘリウムが充填される。一般の試験条件におけるヘリウムの温度を保守側に燃料集合体最高温度とすると、胴内圧は以下のとおり求められる。

$$P_0 = P_{c0} \frac{T_{0nor}}{T_{c0}}$$

ここで、

P_0 : 一般の試験条件における胴内圧 (MPa)

P_{c0} : 胴内ヘリウムの初期充填圧力 (MPa)

T_{0nor} : 一般の試験条件における胴内ヘリウムの温度 (燃料集合体最高温度) (K)

T_{c0} : 胴内ヘリウムの初期温度 (K)

計算条件と計算結果を(ρ)-第 B.8 表に示す。なお、設計評価期間における一二次蓋間ヘリウムの胴内への漏えいは十分に小さいため、漏えいを考慮しても胴内圧は負圧が維持される。